

La conception d'emballages sûrs est à portée de main

Olivier Vitrac, chercheur INRA

olivier.vitrac@agroparistech.fr, <http://sfpp3.agroparistech.fr>

- UMR 1145 Ingénierie Procédés Aliments
- Equipe Interactions Matériaux et Milieux au Contact
- UMT SafeMat « Matériaux Sûrs »
- AgroParisTech site de Massy





Anatomie d'une crise

Les solutions (1..7)

Conclusions

CONTENT



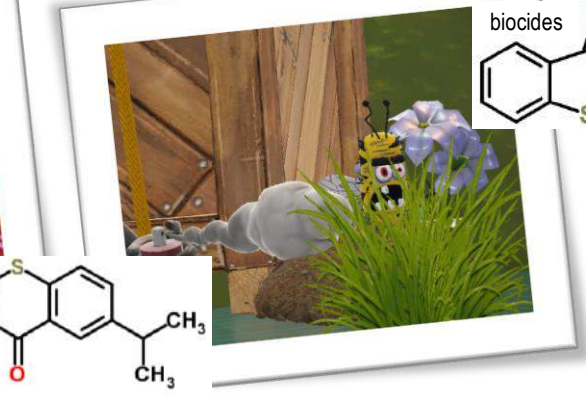
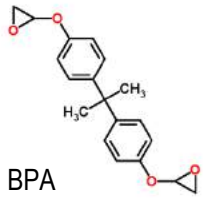
K

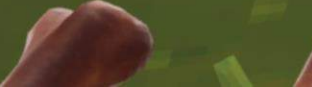
INRAE
SCIENCE & IMPACT

LMT
SAFEMAT
MATERIAUX AU CONTACT
DES ALIMENTS

Is it safe?
How to assess it?
How to grant it?







Is it safe?
How to assess it?
How to grant it?



PENDANT PLUSIEURS ANNEES

TOUTES LES SUBSTANCES ANNUELLES

OUVRAGE soumis au Bureau des Manufactures, revêtu de son approbation et sur l'invitation de S. Exc.

PAR A. P. APPERT

Propriétaire à Massy, Département de l'Essonne, ancien Confiseur et Distillateur de la Maison ducale de Christi-

LA CONSERVE ALIMENTAIRE

Bulletin mensuel de Vulgarisation Théorique et Pratique de Fabrication

PARAISANT LE 15 DE CHAQUE MOIS

Rédigé par un groupe de Fabricants-Industriels et de Chefs d'Employés de cette Industrie



L'enseignement sera tout à la fois théorique et pratique.

Dans la voie pratique, le Comité de Direction se propose, non pas d'organiser une usine de fabrication de conserves et de produits alimentaires divers, destinée à concurrencer l'industrie libre, mais de créer des laboratoires d'essais et d'enseignement qui dirigera un praticien qualifié et où chaque fabricant pourra venir se documenter et concourir aux progrès de la science alimentaire.

Les essais théoriques seront dirigés par un

Le règlement de 1908: « ...aucune substance alimentaire ne doit contenir de produit nuisible, produits chimiques... »

...un témoin...
du Gouvernement

Nicolas APPERT
(1750-1841)

École Nationale D'INDUSTRIE ALIMENTAIRE

Nicolas Appert

COMITÉ DE DIRECTION
Bourse du Commerce
— Paris —

CHEZ PATRIS ET C^{ie} IMPRIMERS
NAPOLÉON, AU COIN DE LA RUE

1810

SCIENCE & IMPACT

L'idée de la création de cette école dont nous avons été les plus fervents propagandistes vient d'être mise définitivement au point par un groupe de praticiens, de chimistes et d'agronomes distingués qui vont en assurer le fonctionnement.

L'enseignement à la question des machines, appareils et ustensiles employés par l'industrie alimentaire. Un ingénieur diplômé, M. RAYMOND MONOR, dessusiné de Diétrich, est chargé d'organiser cette partie du programme.

M. MORÉAL DE BRÉVANS, le distingué sous-directeur du laboratoire municipal, a bien voulu se charger de l'enseignement si important de la chimie appliquée à l'alimentation.

Enfin M. ED. JACQUET, ingénieur-agronome, administrateur de l'école, occupera la chaire de professeur d'"Alimentation Commerciale".

Ajoutons que notre bulletin transformé en revue bi-mensuelle à laquelle collaboreront désormais les personnalités ci-dessus, devient le Bulletin Officiel de l'Ecole.

En un mot et suivant l'exemple d'autres pays, une Université nouvelle et bien moderne vient de naître en France, celle de l'Industrie Alimentaire. Cette industrie quitte ainsi, définitivement, le domaine empirique pour rentrer dans celui des sciences exactes, où elle avait

sa place déjà marquée par les exigences et le progrès sans cesse grandissants de la vie contemporaine.

Pour le Comité de Direction:
Aug. CORTRAY.

Causerie Professionnelle

par Nicolas APPERT

Méfions-nous des Conserves Étrangères

Nous donnons ci-dessous la traduction d'un extrait du passage que M. Hamel consacre à la législation et l'inspection des conserves alimentaires au Canada, dans le traité qu'il publie ce moment. (Modern practice of canning meats).

« Comparés avec les règlements qui ré-

» Nous comprenons bien que les chimistes du Ministère sont là pour condamner tout produit alimentaire où l'analyse décelerait la présence d'un produit chimique dangereux, mais pour ceux qui sont au courant des discussions en cours entre les hygiénistes les plus distingués du monde entier au sujet de la plus ou moins grande nocivité de tel ou tel antiséptique, la satisfaction est maigre.

« Je répète que le fabricant de conserves en bouteilles n'a pas besoin d'antiséptiques pour assurer la conservation indéfinie de ses produits. La stérilisation lui suffit.

« Pourquoi donc ne pas faire comprendre au monde entier que les mots « CANADA APPROVED » de l'étiquette signifient absence entière de substances nuisibles, aussi bien dans les conserves que dans les viandes fraîches.

« Que si quelques antiséptiques sont considérés comme inoffensifs par le Ministère de l'Agriculture, pourquoi ne pas faire connaître de ce

pour protéger les fabricants Canadiens contre la concurrence des Etats-Unis, il était nécessaire de créer une législation, au moins sur le papier.

« Je ne parle pas ici de l'inspection des viandes fraîches qui est soumise à un groupe de savants et de vétérinaires de valeur.

« Mais l'acheteur éclairé de conserves alimentaires quelles qu'elles soient, viandes, poissons, fruits ou légumes est loin d'avoir obtenu la même sécurité.

« Le règlement en date de 1908 qui régit l'inspection des conserves alimentaires nous dit : *Aucune substance alimentaire ne doit contenir de produit nuisible, produits chimiques, colorants ou antiséptiques, et plus loin on nous dit : Il sera fourni aux Inspecteurs par les soins du Ministère de l'Agriculture les noms des antiséptiques et colorants inoffensifs dont l'emploi est permis. L'addition de tout autre empêchera le produit de recevoir l'étiquette constatant l'inspection.*

G. T. HAMEL, ingénieur.

L'auteur faisant une œuvre purement technique et non de polémique est évidemment très modéré. Mais pour qui lit entre les lignes et pour nous qui savons combien sont rares parmi le personnel de l'inspection les gens compétents, toutes les places étant prises par les politiciens, nous ne nous sentons pas rassu-

Italian police seize contaminated Nestle baby milk

22 Nov 2005 16:45:09 GMT

Source: Reuters



(Adds Tetra Pak comment in paragraph 11)

By Massimiliano Di Giorgio and Isabel Strassheim

ROME/ZURICH, Nov 22 (Reuters) - Italian police seized around 30 million litres of baby milk produced by Swiss food giant Nestle <NESN.VX> on Tuesday after tests showed it was contaminated with traces of ink used in the packaging.

Nestle said the chemical substance was not harmful, but announced it was recalling the infant food in four European countries, including Italy, because of the problem, which related to Tetra Pak cartons.

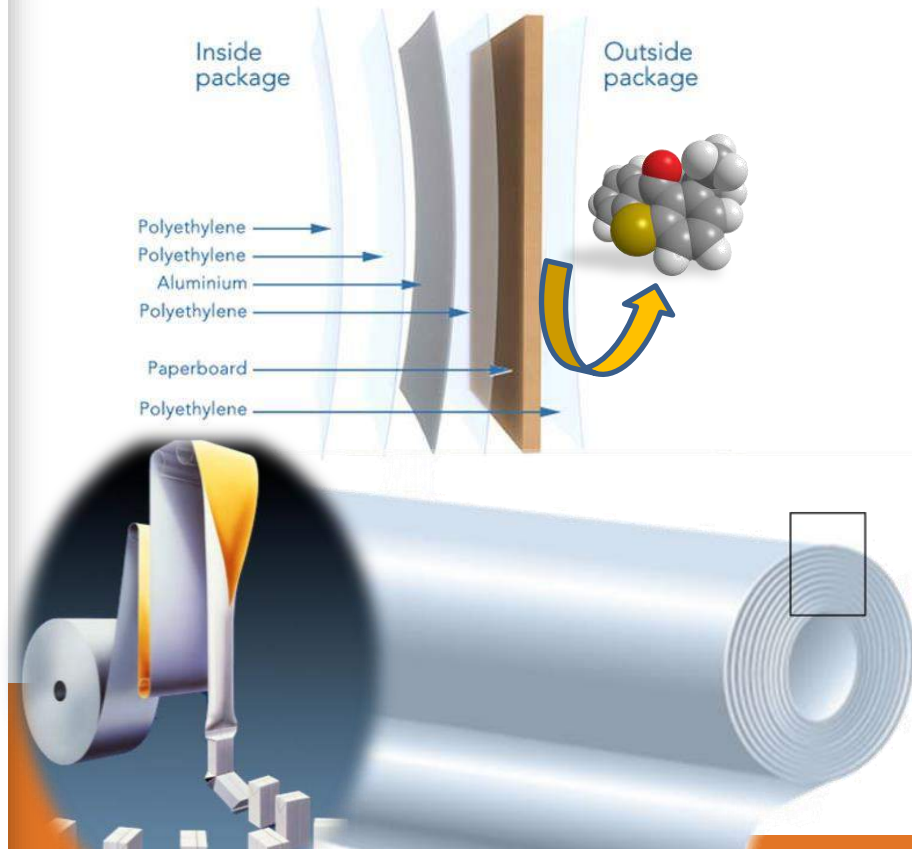
Italian Agriculture Minister Gianni Alemanno demanded tests to see if babies given the contaminated milk over a prolonged period faced health risks.

◀ PREVIOUS | NEXT ▶
Forest Ranger officials check a package of baby milk made by Swiss food group Nestle in a supermarket in Italy November 22, 2005. Italian police seized around 30 million litres of baby milk produced by Nestle on Tuesday after tests showed traces of ink, and the company said it was recalling the infant food in four European countries.
REUTERS/HO

"It is incredible that such defenceless beings as babies should face such serious risks in a product as widely used as milk," Alemanno said in a statement.

Italian officials said they had already seized about 2 million litres of Nestle baby milk earlier this month after finding traces of isopropylthioxanthone (ITX), an ink component used in the offset printing process of the Tetra Pak cartons.

"It is incredible that such defenseless beings as babies should face such serious risks in a product as widely used as milk"



AlertNet

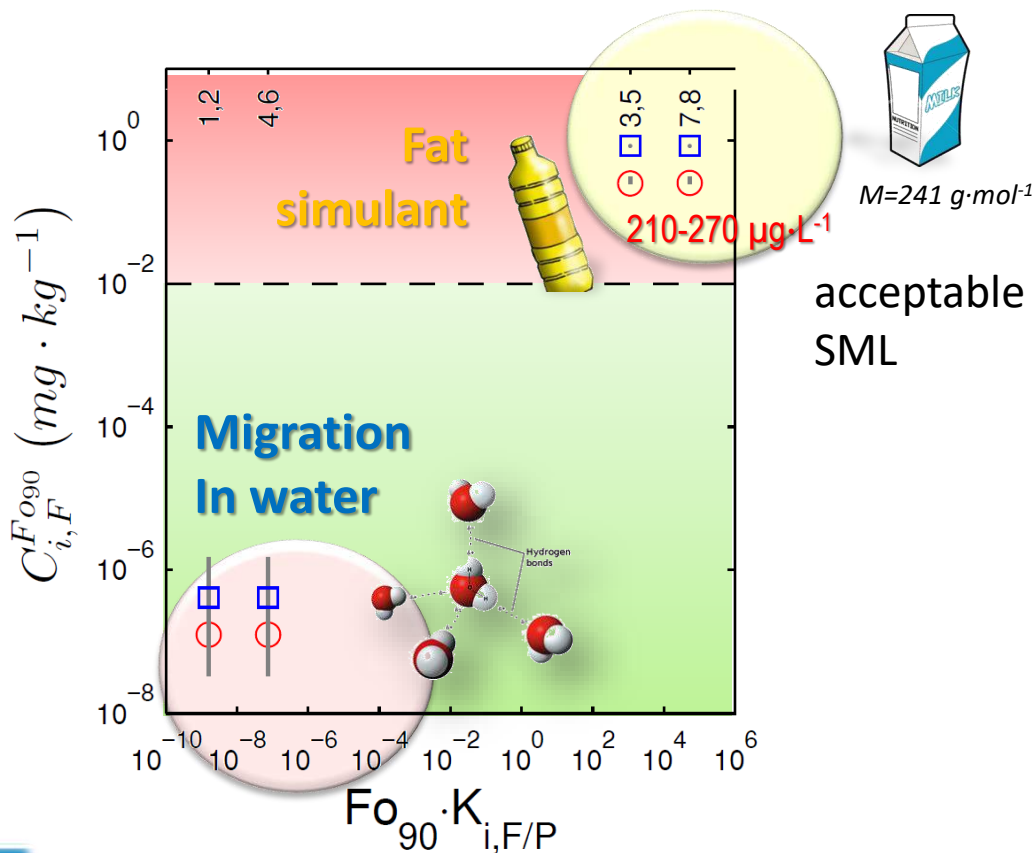
Reuters

Foundation



| | Migrant Homologous migrant† Polymer | 2-ITX not available LDPE†† |
|---|---|---|
| PARAMETER | notation (unit) | |
| Thickness | l_P (μm) | 50 |
| Volume dilution ratio | $L_{F/P}$ (-) | 360 |
| Biot mass number | Bi (-) | 10^3 |
| Contact Time | t (days) | 90 |
| Temperature | (°C) | 4 |
| Likely initial concentration ^a | $\bar{C}_{i,P}^0$ ^a ($\text{mg}\cdot\text{kg}^{-1}$) | 100 ± 10 |
| Conservative initial concentration ^b | $(\bar{C}_{i,P}^0)^+$ ^b ($\text{mg}\cdot\text{kg}^{-1}$) | 300 |
| Likely diffusion coefficient ^c | $\bar{D}_{i,P}$ ^c ($\text{m}^2\cdot\text{s}^{-1}$) | $8.4 \cdot 10^{-16}$ [$7.6 \cdot 10^{-16}$ $9.2 \cdot 10^{-16}$] |
| Conservative diffusion coefficient ^d | $D_{i,P}^+$ ^d ($\text{m}^2\cdot\text{s}^{-1}$) | $3.9 \cdot 10^{-14}$ |
| Likely partition coefficient ^e | $\bar{K}_{i,F/P}$ (-) | $1.4 \cdot 10^{-9}$ [$3.7 \cdot 10^{-10}$ $5.1 \cdot 10^{-9}$] |
| Conservative partition coefficient | $K_{i,F/P}^+$ (-) | 10^3 |

Food Additives and Contaminants, 2009, 26(12), 1556-1573.



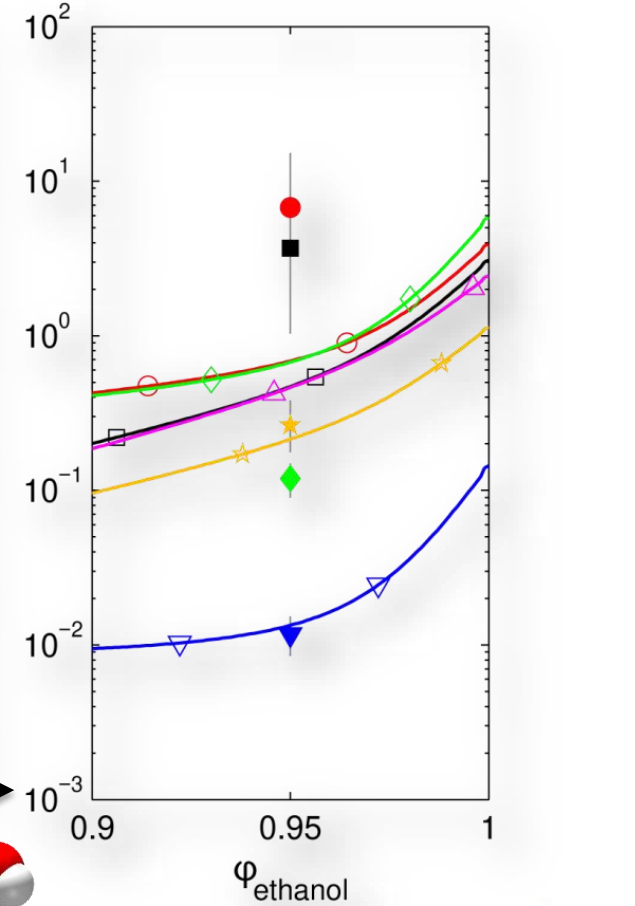
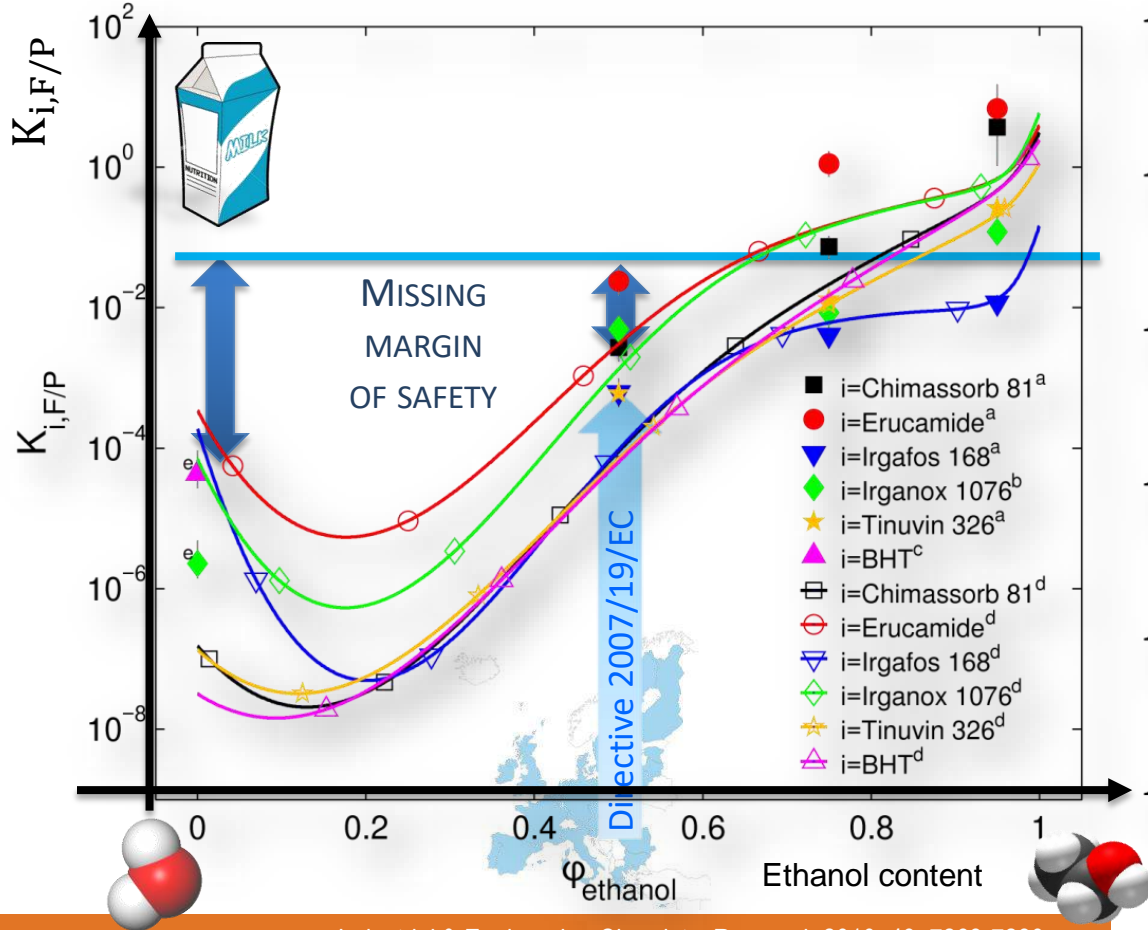
| | Date of case | Last change | Reference | Country |
|----|--------------|-------------|-----------|---------|
| 6. | 08/09/2005 | | 2005.631 | ITALY |

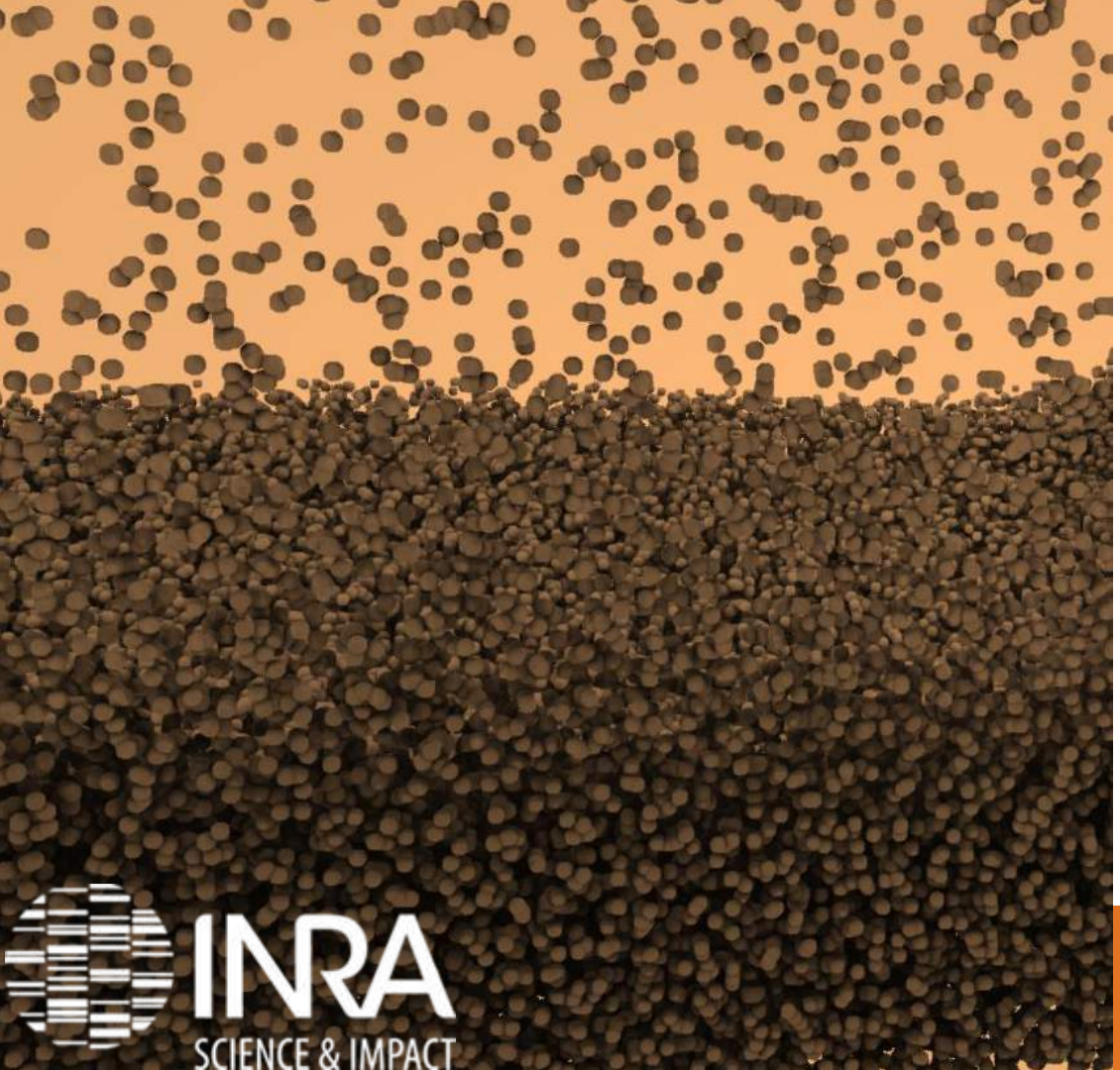
food contact materials

migration of isopropyl thioxanthone (250 µg/l) from packaging of milk for babies from Spain



$$M=241 \text{ g}\cdot\text{mol}^{-1}$$





SOLUTION 1

Modeling

solution 3

solution 4

solution 5

solution 6

solution 7

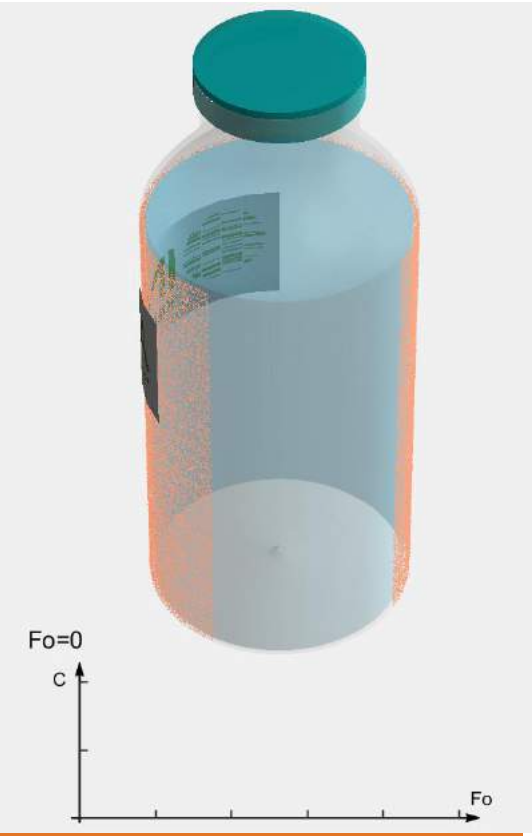
Conclusions

MIGRATION: SOME TYPICAL CASES

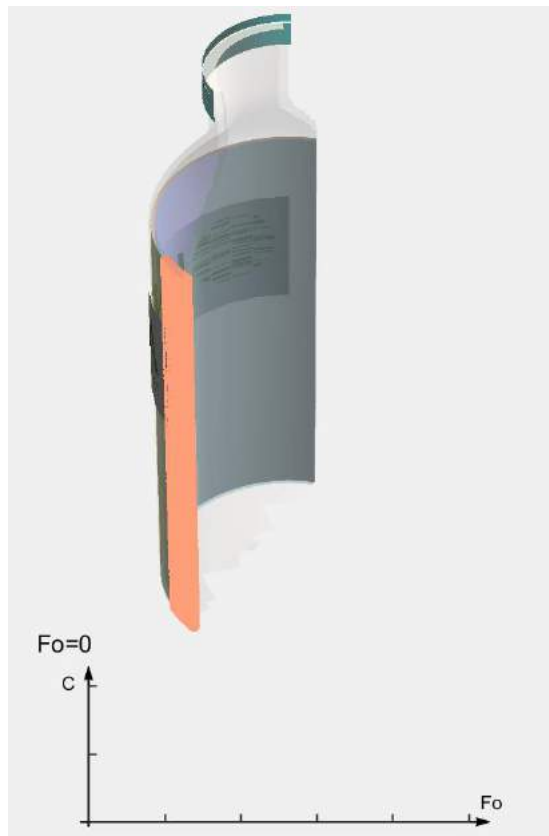
monolayer



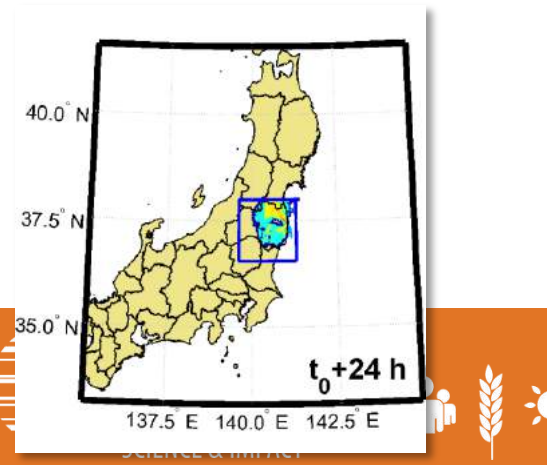
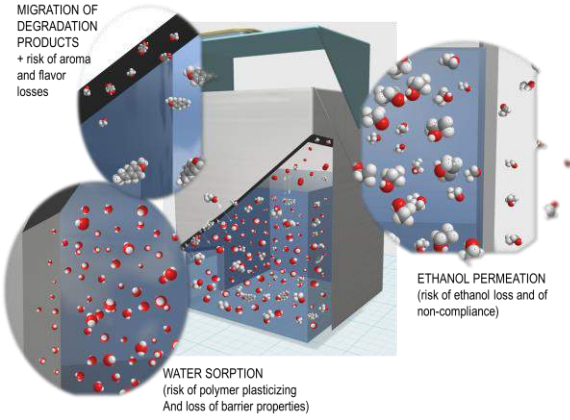
with barrier to diffusion



multilayer



alcoholic beverages

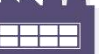


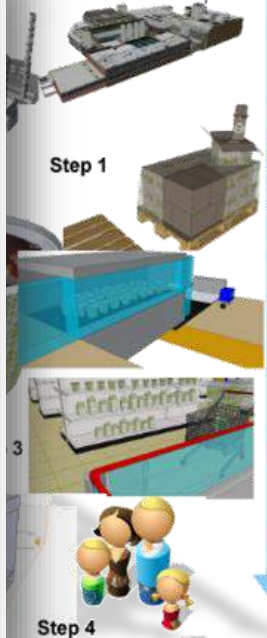
radionuclides

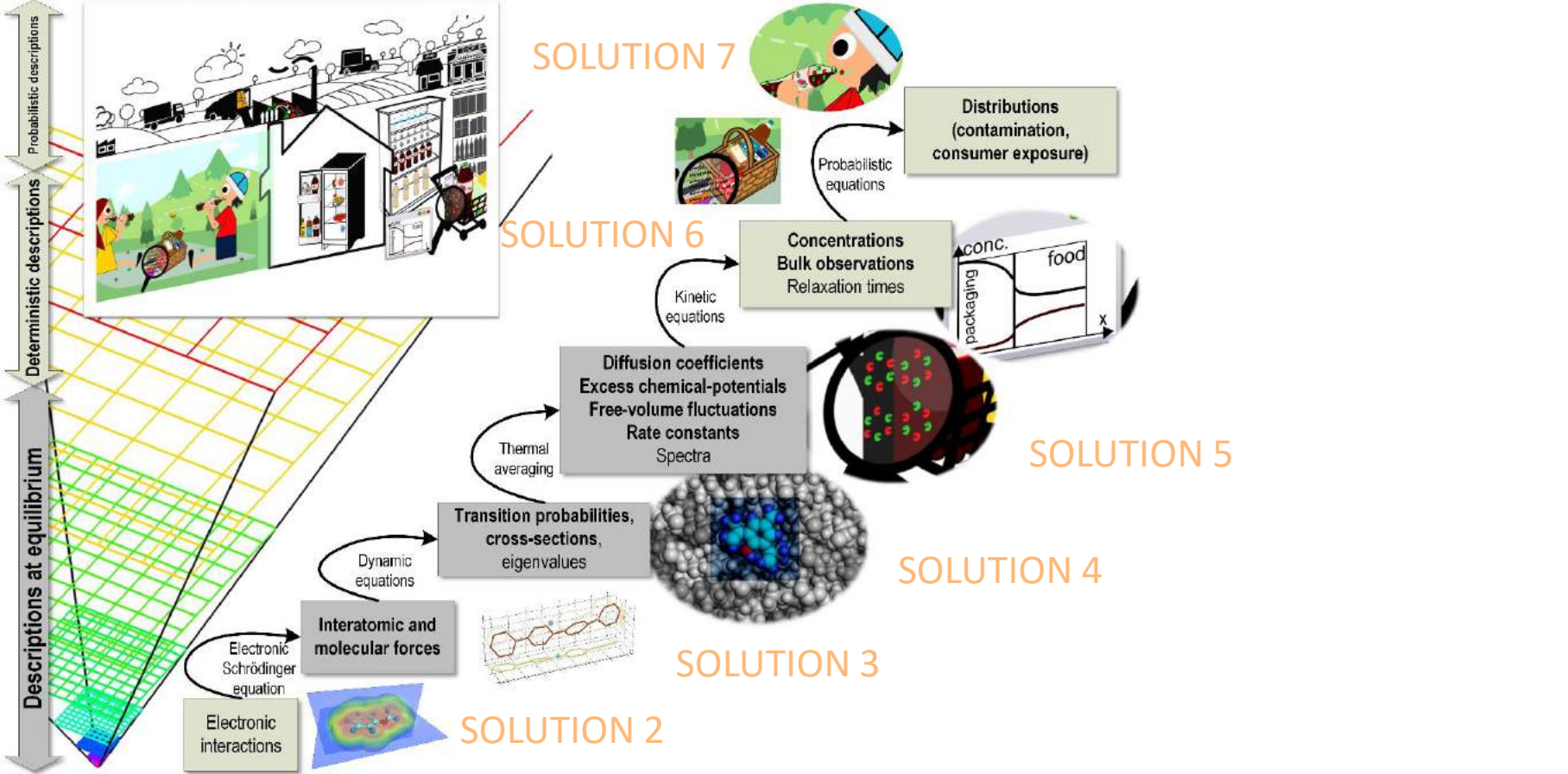




FMECA « milk for infants stored in a brick »

| | Formulation | Design | Process | Informations | Mechanisms | | | | | | | | | | | | | | | | | | | | | | | | | | | | | | | | | | | | | | | | | | | | |
|---|--|---|--|--|--|-------|-----|------------------------------------|--------|-----|--|-----------------|--------|-----|--|-----------------|--------|-------|--|--|--------|---------|--|--|--------|---|----|-----|----|--------|--|-------|---|--|--------|--|-------|-----|--------|--|-------|--------|--------------------------------|--------|--|-------|----|-----|--------|
| Phase |  Formulation |  design |  Process | | | | | | | | | | | | | | | | | | | | | | | | | | | | | | | | | | | | | | | | | | | | | | |
| Inventaire | <ul style="list-style-type: none"> monomers (plastics, adhesives) catalysts antioxidants lubricants biocides (cardboard, ink) mineral oil (cardboard) solvents photoinitiators other residus (NIAS) | two components: <ul style="list-style-type: none"> brick body (4 materials, 5 layers) cap (two materials incl. the sealing system) six materials <ul style="list-style-type: none"> LDPE, PP (cap) aluminum foil cardboard (origin) « ink » <p>GitHub</p>  <p>ovitrac / FMECAengine</p> <p>FMECAengine / senspatankarC.m</p> <p>ovitrac on 10 May 2014 Major Update - 10/05/2014</p> | <ul style="list-style-type: none"> production, storage, assembly of materials assembly and storage of components printing (printing technology, curing/drying...) storage of empty packaging aseptic packaging filling (temperature, pretreatment...) storage and retailing of the bricks filled with milk | <ul style="list-style-type: none"> identity and composition of the assembly formula (substar or not) test conditions to control the risk of migration conditions of packaging and consumer contact |  <p>INRA FSP3 - 2013-04-18 22:03:53</p> <p>Contact conditions</p> <table border="1"> <tr> <td>L_FPP</td> <td>100</td> <td>mF m⁻² s⁻¹</td> <td>import</td> </tr> <tr> <td>V_F</td> <td></td> <td>cm³</td> <td>import</td> </tr> <tr> <td>A_F</td> <td></td> <td>cm²</td> <td>import</td> </tr> <tr> <td>rho_F</td> <td></td> <td>kg m⁻³ or g cm⁻³</td> <td>import</td> </tr> <tr> <td>rho_F_1</td> <td></td> <td>kg m⁻³ or g cm⁻³</td> <td>import</td> </tr> </table> <p>Layer selector</p> <table border="1"> <tr> <td><input checked="" type="checkbox"/> Layer 1</td> <td>UP</td> <td>300</td> <td>µm</td> <td>import</td> </tr> <tr> <td></td> <td>rho_P</td> <td>1</td> <td>kg m⁻³ or g cm⁻³</td> <td>import</td> </tr> <tr> <td></td> <td>K_F_P</td> <td>0.1</td> <td>import</td> </tr> <tr> <td></td> <td>D_L_P</td> <td>1e-015</td> <td>m² s⁻¹</td> <td>import</td> </tr> <tr> <td></td> <td>conc.</td> <td>50</td> <td>ppm</td> <td>import</td> </tr> </table> <p>Acetaldehyde</p> <p>Name: Acetaldehyde (Acetic aldehyde, Ethyl formate, Ethyl acetate, CH₃CHO, Acetaldhyde, Aldehyde acetic; Acetide acetic; NCI-C362...) CAS: 75-07-0 REF: 10060 InChIKey: IHNQSLGUNJULKU-HHFFADYSA-N M: 44.093 g/mol SML: 6 ppm EFSA: Gravim. ED = 0.1 mg/kg b.w. (calculated for a 100% soluble material (including 1000 and 2300)) Toxicity profiles similar to methacdehyde. A 2-year oral rat study and a 3-generation oral rat study including teratogenicity with methacdehydride. The reports on nasal carcinogenicity after inhalation were inconclusive. No evidence for effects from oral intake of smaller doses. (adopted at 113rd SCF meeting)(17-18 September 1998). http://europa.eu.int/comm/food/fs/sc/scf/out16_en.html</p> <p>FII Simulation: +resins / icr</p> <p>Acceptable threshold or specific migration limit: 6 ppm</p> <p>INRA / Olivier Vitrac</p> <p>SAFE FOOD PACKAGING PORTAL</p> | L_FPP | 100 | mF m ⁻² s ⁻¹ | import | V_F | | cm ³ | import | A_F | | cm ² | import | rho_F | | kg m ⁻³ or g cm ⁻³ | import | rho_F_1 | | kg m ⁻³ or g cm ⁻³ | import | <input checked="" type="checkbox"/> Layer 1 | UP | 300 | µm | import | | rho_P | 1 | kg m ⁻³ or g cm ⁻³ | import | | K_F_P | 0.1 | import | | D_L_P | 1e-015 | m ² s ⁻¹ | import | | conc. | 50 | ppm | import |
| L_FPP | 100 | mF m ⁻² s ⁻¹ | import | | | | | | | | | | | | | | | | | | | | | | | | | | | | | | | | | | | | | | | | | | | | | | |
| V_F | | cm ³ | import | | | | | | | | | | | | | | | | | | | | | | | | | | | | | | | | | | | | | | | | | | | | | | |
| A_F | | cm ² | import | | | | | | | | | | | | | | | | | | | | | | | | | | | | | | | | | | | | | | | | | | | | | | |
| rho_F | | kg m ⁻³ or g cm ⁻³ | import | | | | | | | | | | | | | | | | | | | | | | | | | | | | | | | | | | | | | | | | | | | | | | |
| rho_F_1 | | kg m ⁻³ or g cm ⁻³ | import | | | | | | | | | | | | | | | | | | | | | | | | | | | | | | | | | | | | | | | | | | | | | | |
| <input checked="" type="checkbox"/> Layer 1 | UP | 300 | µm | import | | | | | | | | | | | | | | | | | | | | | | | | | | | | | | | | | | | | | | | | | | | | | |
| | rho_P | 1 | kg m ⁻³ or g cm ⁻³ | import | | | | | | | | | | | | | | | | | | | | | | | | | | | | | | | | | | | | | | | | | | | | | |
| | K_F_P | 0.1 | import | | | | | | | | | | | | | | | | | | | | | | | | | | | | | | | | | | | | | | | | | | | | | | |
| | D_L_P | 1e-015 | m ² s ⁻¹ | import | | | | | | | | | | | | | | | | | | | | | | | | | | | | | | | | | | | | | | | | | | | | | |
| | conc. | 50 | ppm | import | | | | | | | | | | | | | | | | | | | | | | | | | | | | | | | | | | | | | | | | | | | | | |
| Hierarchisation | <p>Highly concentrated</p> <ul style="list-style-type: none"> antioxidants, lubricants, biocides mineral oils, photoinitiators monomers, catalysts, solvents other residues | <p>Bare</p> <ul style="list-style-type: none"> Matrices research weight • • Matrices research molecules control • • | | | | | | | | | | | | | | | | | | | | | | | | | | | | | | | | | | | | | | | | | | | | | | | |



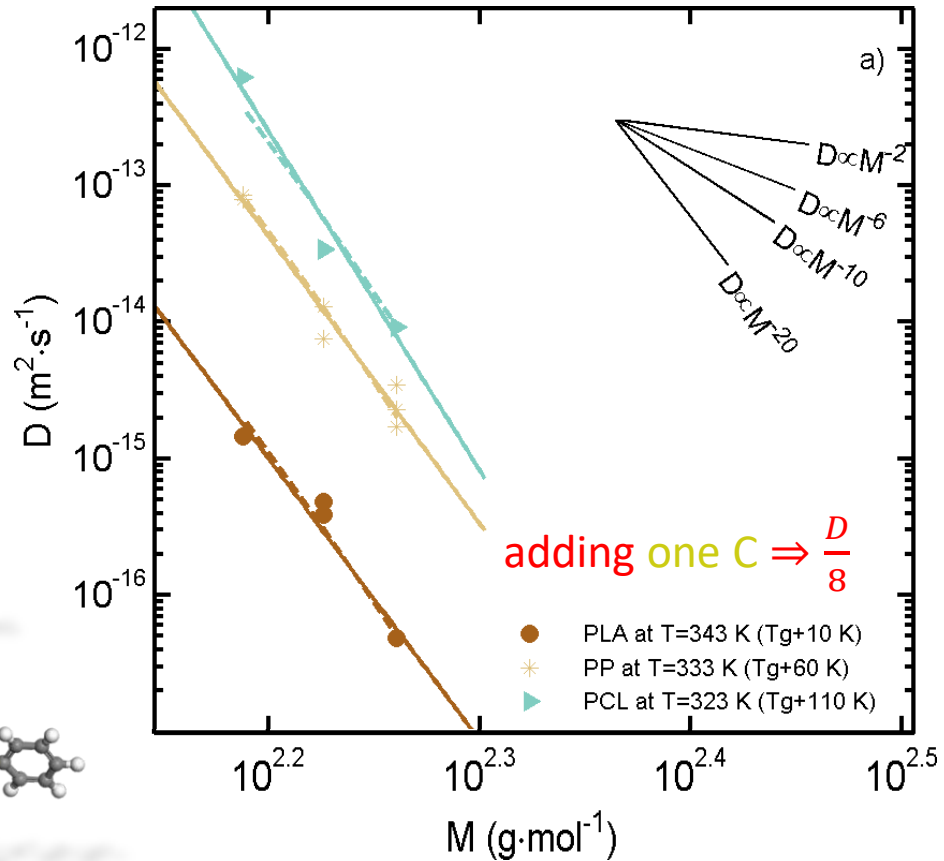
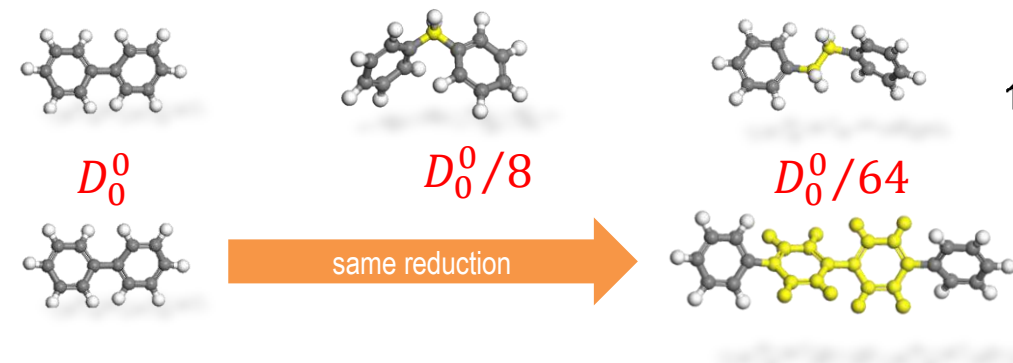


SOLUTION 2

additives with low diffusion coefficients

solution 3
solution 4
solution 5
solution 6
solution 7
Conclusions

$$D(M, T, T_g) = D_0 \exp\left(-\frac{E_a^{blob}}{RT}\right) \times \exp\left(-\frac{E^*(M) - E^{blob}}{RT}\right) \left(\frac{M}{M_{blob}}\right)^{-\alpha(T, T_g)}$$



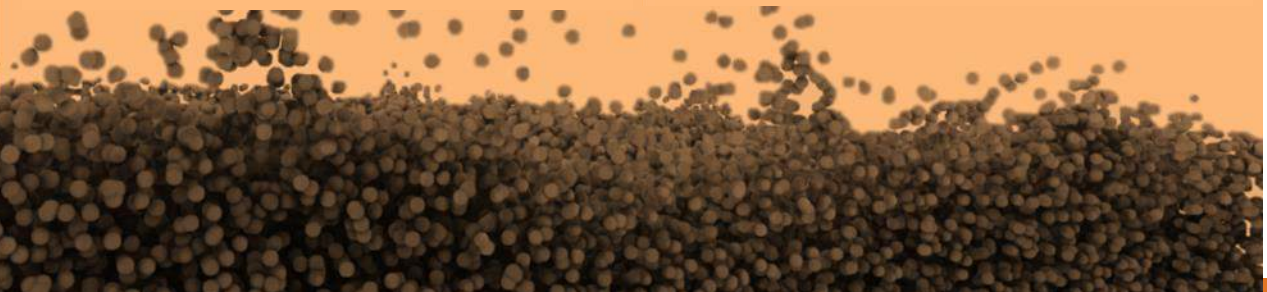
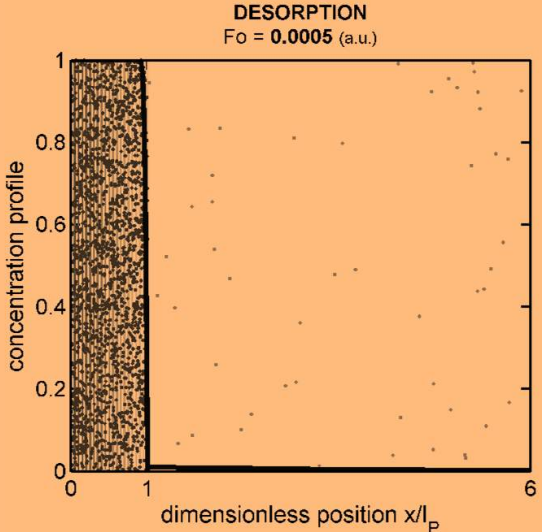
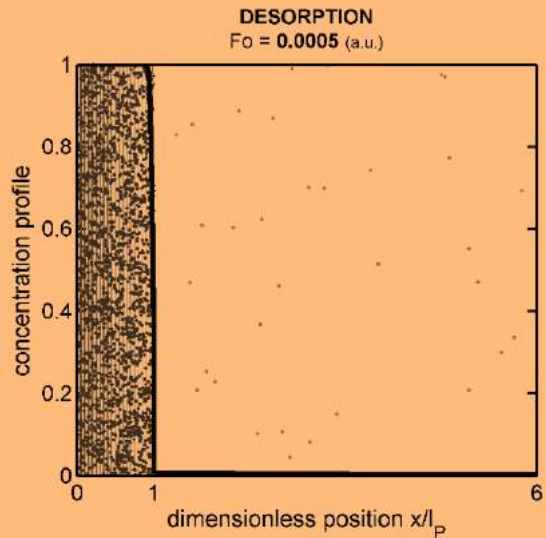
$K_{i,P/F}$

50

50 times for chemical affinity for P

1/50

50 times for chemical affinity for F



SOLUTION 3

Solubility barrier
for apolar or low
polar substances

solution 4

solution 5

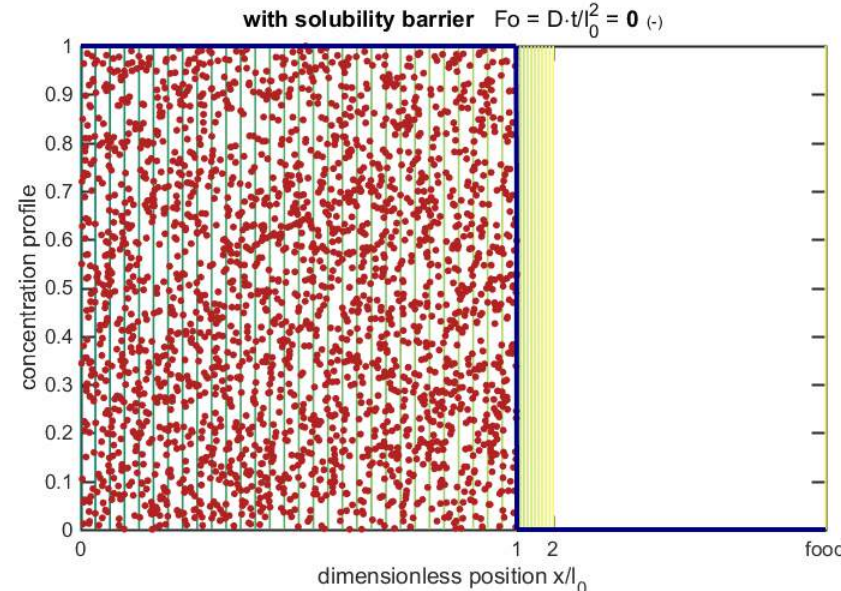
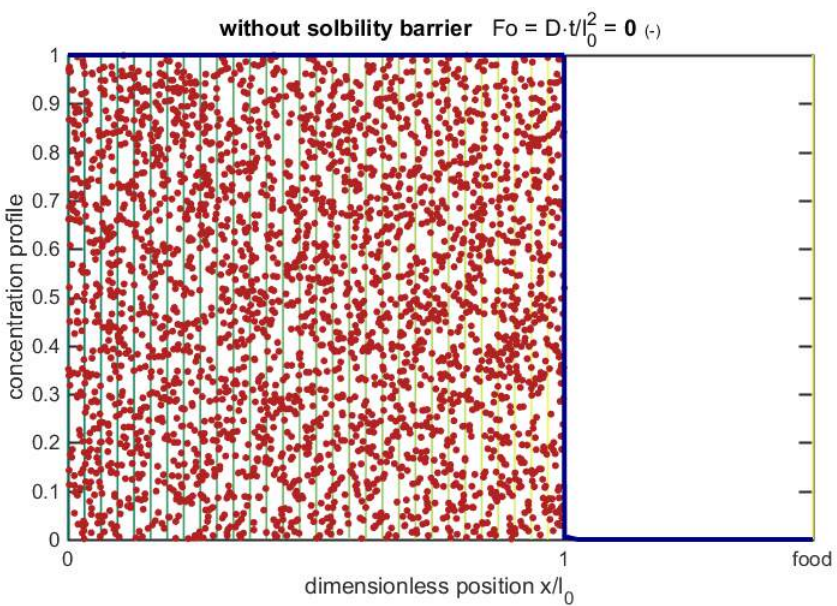
solution 6

solution 7

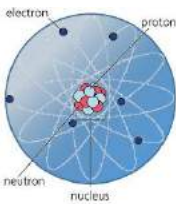
Conclusions

THE CONCEPT OF SOLUBILITY BARRIER

CHANGING THE CHEMICAL AFFINITY CLOSE TO THE SURFACE



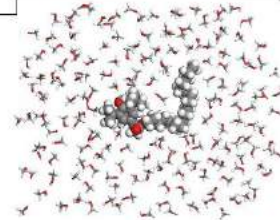
Excess mixing enthalpy:
atomistic scale



All-atomic model



MD simulation



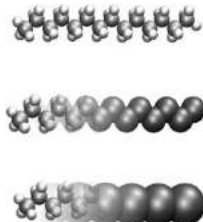
Full information
(but limited scale)

Coarse-graining –
simplified model

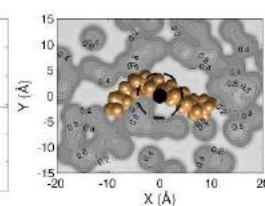
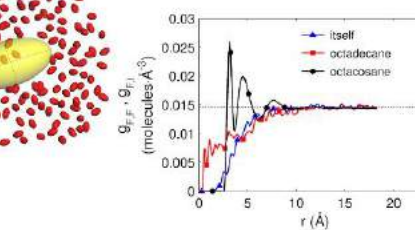
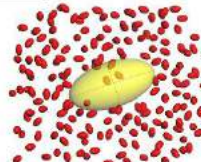
Effective potentials
for selected sites

$$U(r) \propto k_B T \ln[RDF(r)]$$

RDFs for selected
degrees of freedom

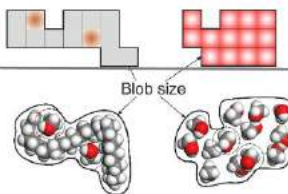


Increase
scale



**Excess mixing
Entropy:** coarse
grained repre-
sentations

Effective
potentials



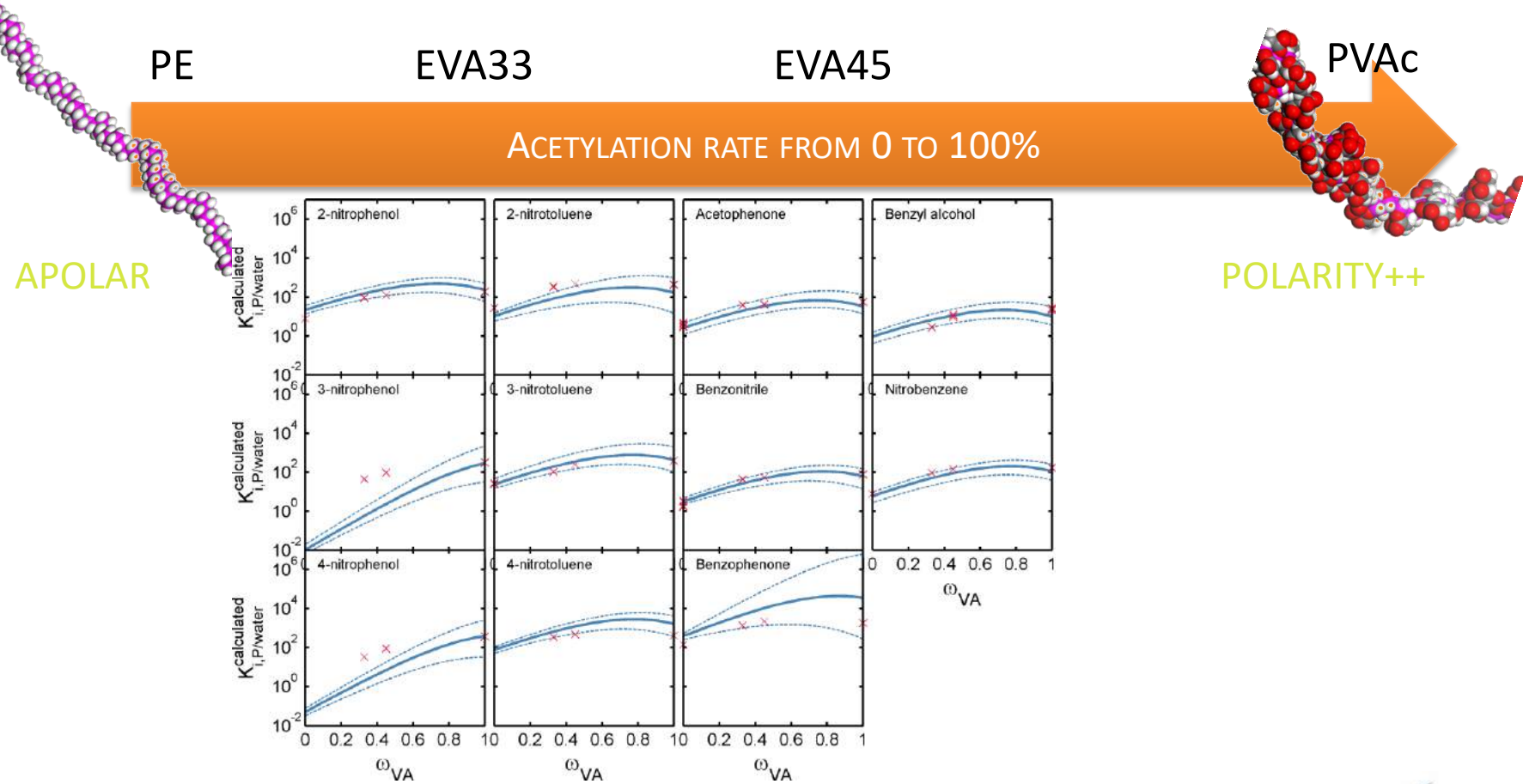
Properties on a larger
length/time scale

Food Research International 2017, 88, 91-104.

Journal of Polymer Science Part B: Polymer Physics 2014, 52, 1252-1258.

Journal of Chemical Reactor Engineering 2010, 8.

Industrial & Engineering Chemistry Research 2010, 49, 7263-7280 ; 2009, 48, 5285-5301.



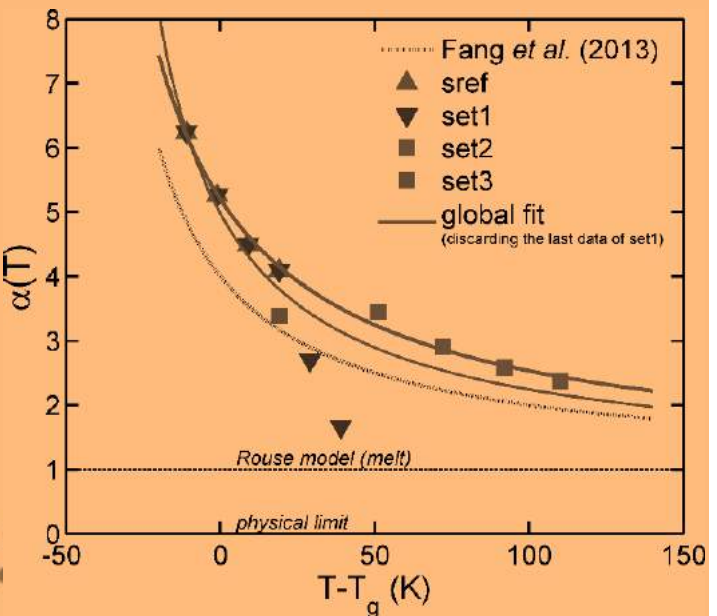
Industrial & Engineering Chemistry Research 2017, 56, 774–787.

$$D_1 = \bar{D}_0 \exp\left(-\frac{E^*}{RT}\right) \exp\left(-\frac{\xi}{0.24} \alpha_{probe}^{(T,T_g)}\right)$$

$$\alpha(T, T_g) =$$

$$1 + \frac{K_\alpha}{T - T_g + K_\beta} \text{ for } T \geq T_g$$

$$1 + \frac{K_\alpha}{\frac{\alpha_2^g}{\alpha_{c2}}(T - T_g) + K_\beta} \text{ for } T < T_g$$



SOLUTION 4

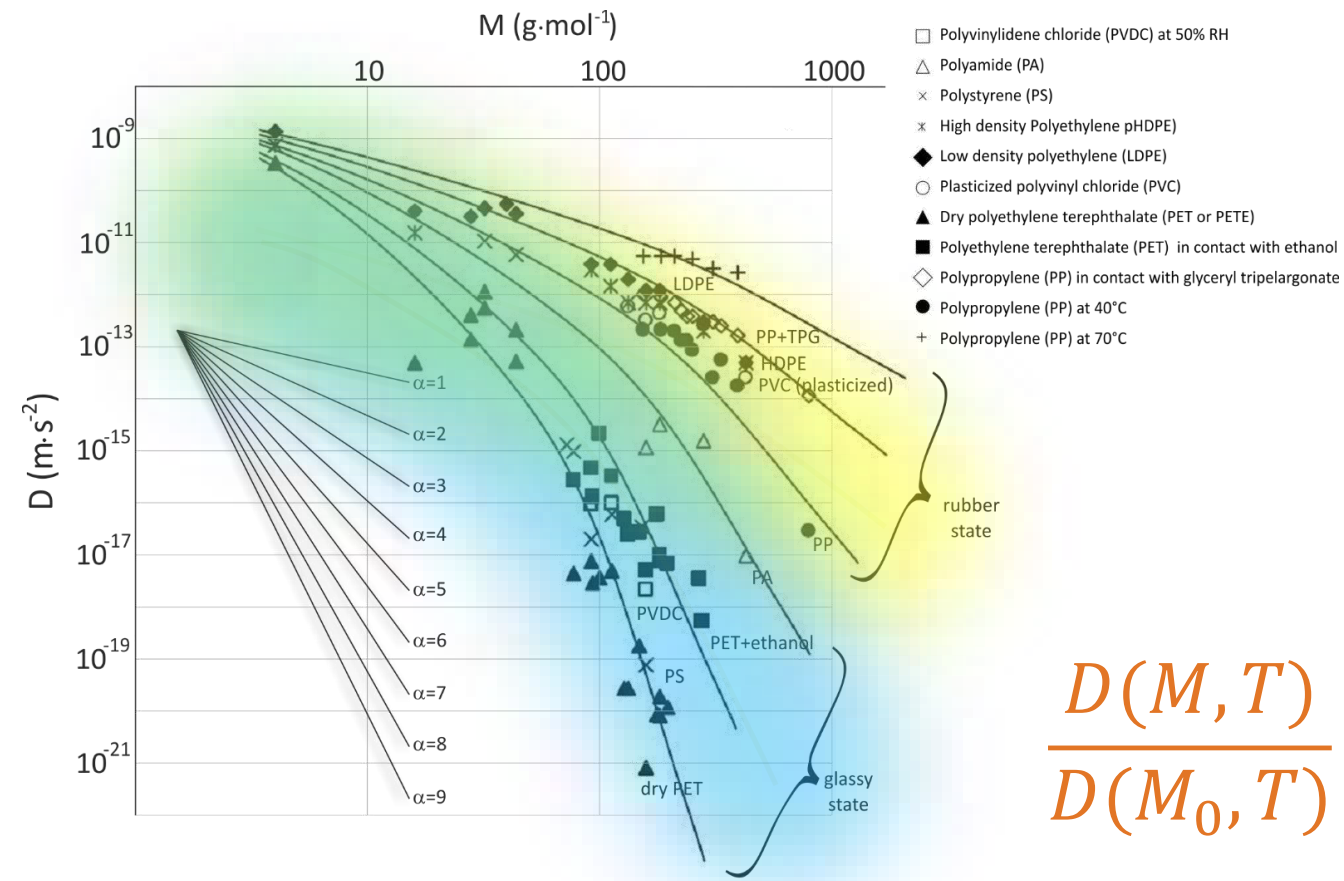
Diffusion barrier with materials with high T_g polar substances

solution 5

solution 6

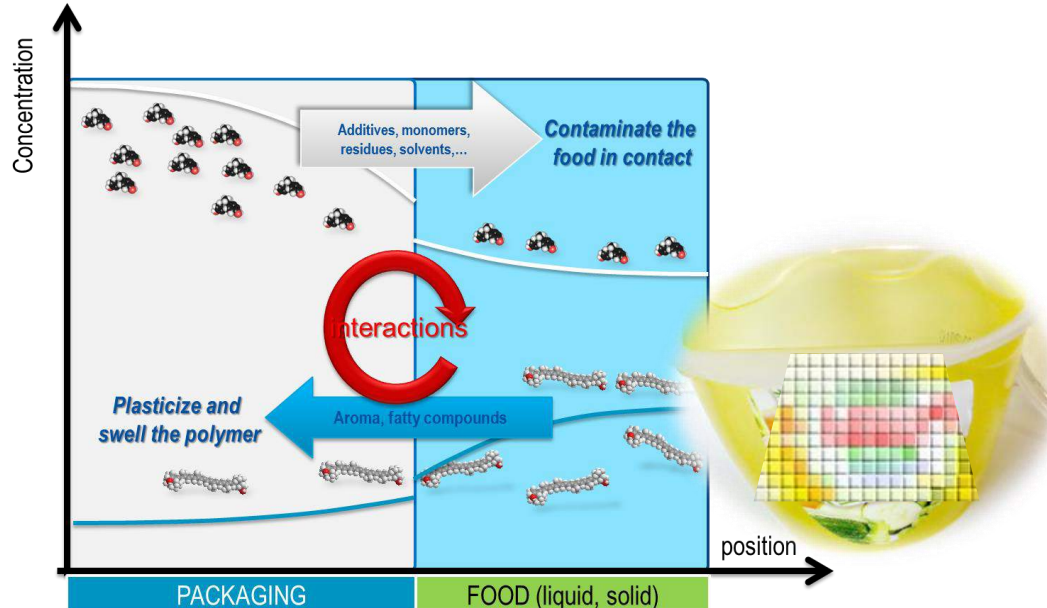
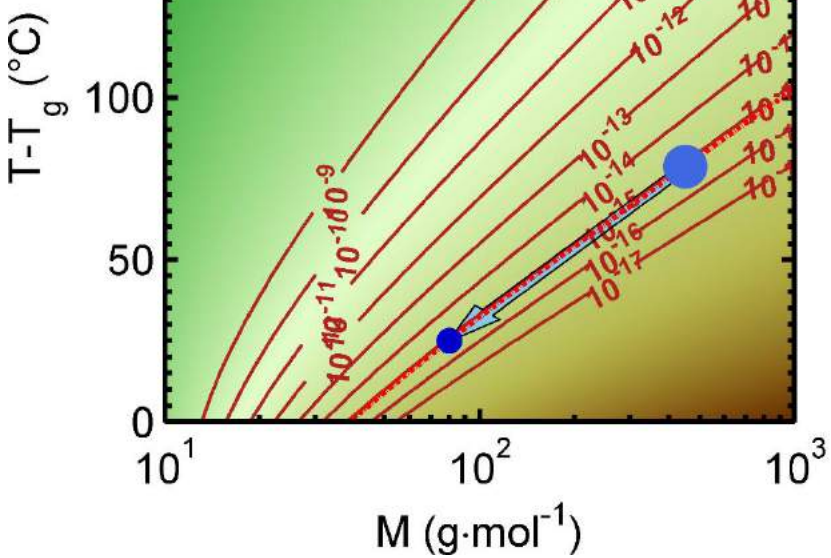
solution 7

Conclusions



$$\frac{D(M, T)}{D(M_0, T)} \propto \left(\frac{M}{M_0}\right)^{-\alpha(T, T_g)}$$

a) D estimates for PP



SOURCES DE CONTAMINATION DES ALIMENTS PAR LES HUILES MINÉRALES



SOLUTION 5

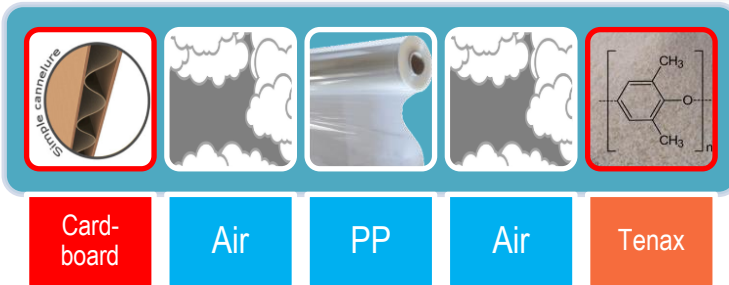
Adding a gas phase
to slowdown migration

solution 5

solution 6

solution 7

Conclusions



SURROGATES (I)

Decane (C10)

Tetradecane (C14)

Hexadecane (C16)

Octadecane (C18)

Eicosane (C20)

Tetracosane (C24)

Octacosane (C28)

Dibutyl phthalate (DBP)

Bis(2-ethylhexyl) phthalate (DEHP)

Benzylbutyl phthalate (BBP)

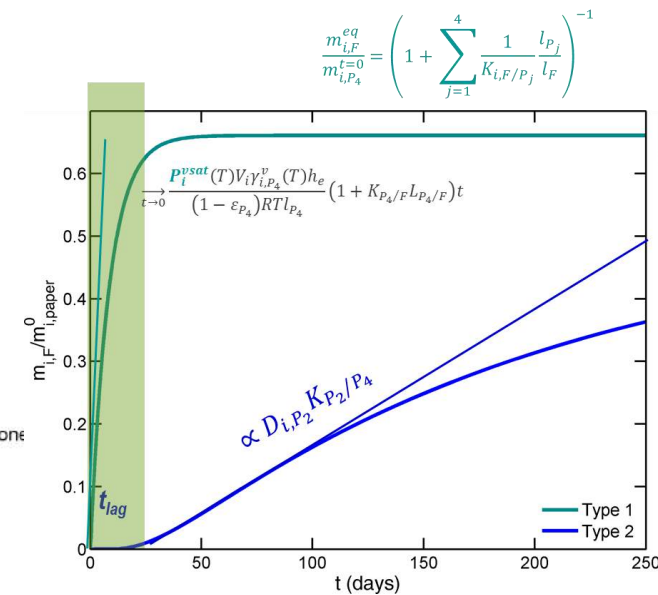
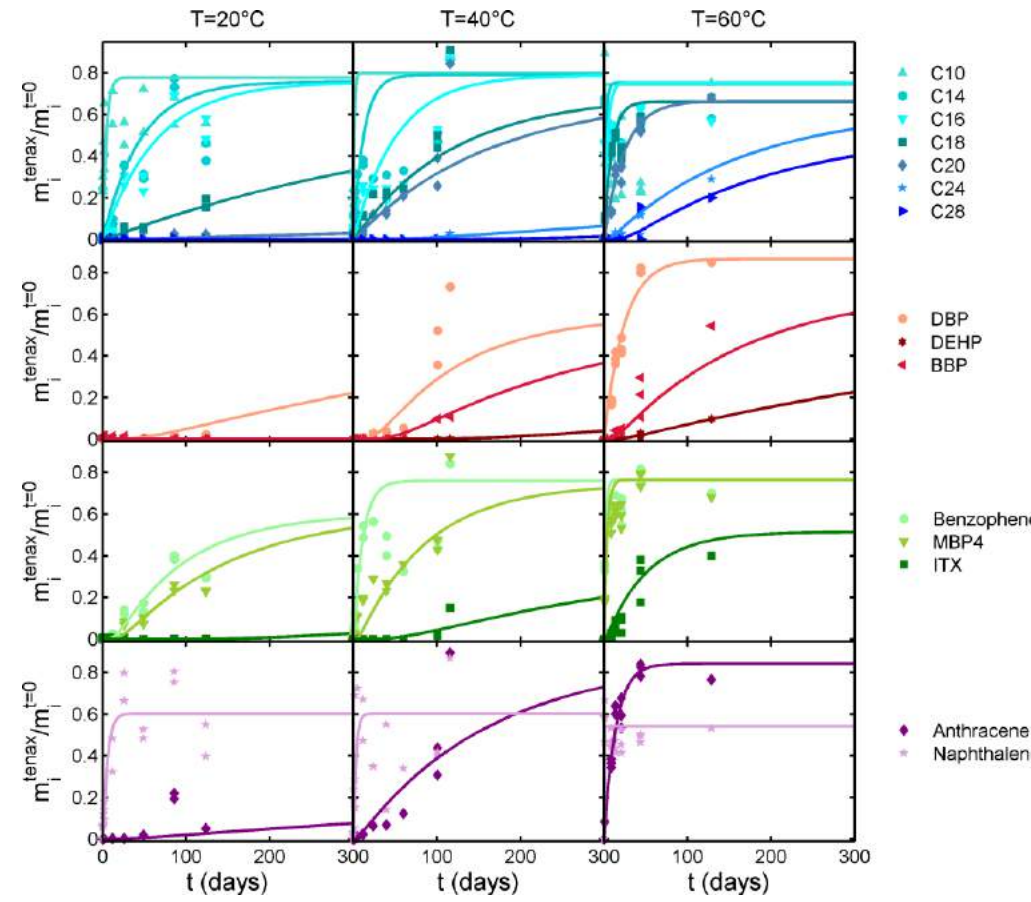
Benzophenone

4-methyl benzophenone (MBP4)

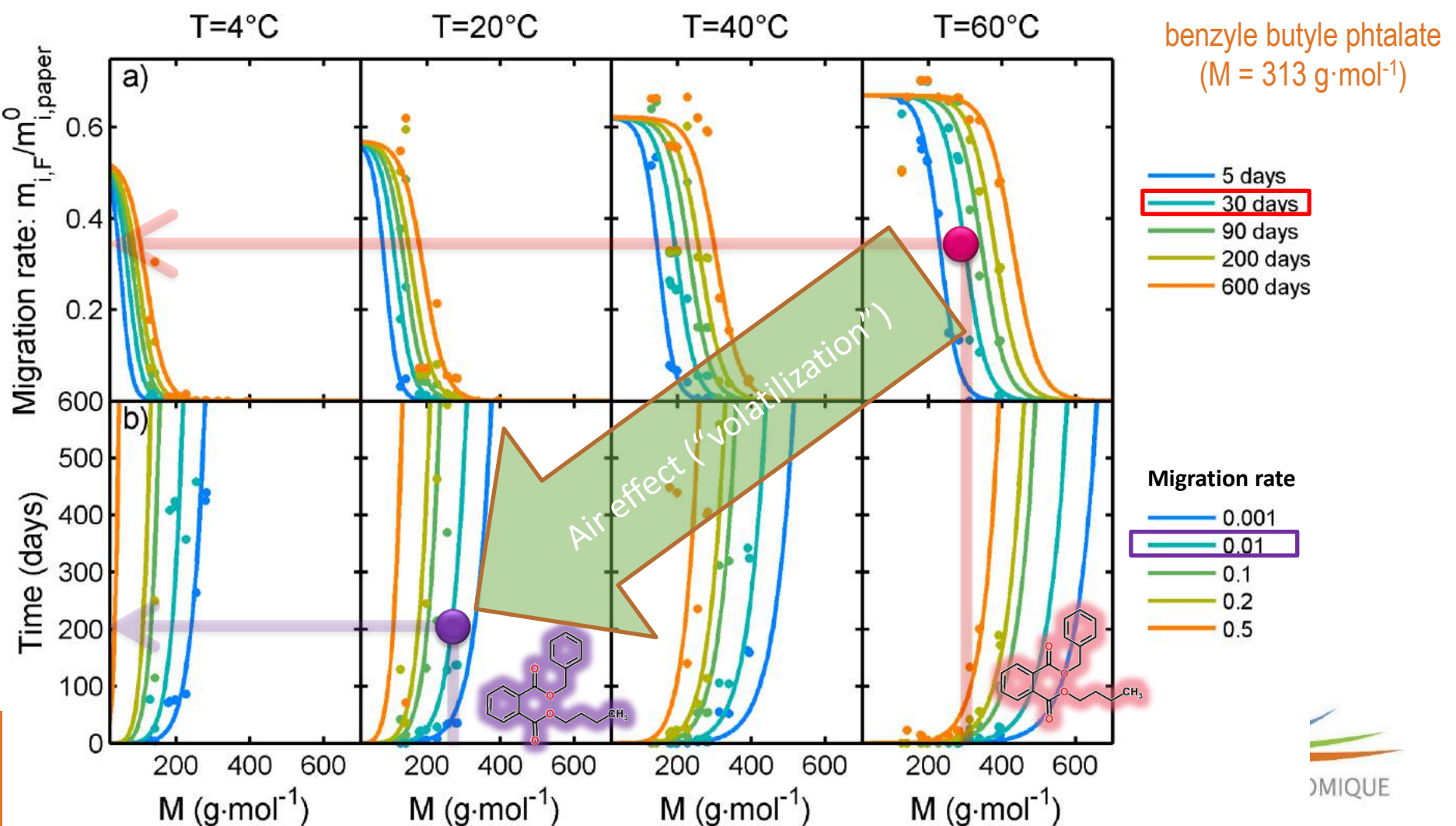
Isopropyl-9H-thioxanthene-9-one

Anthracene

Naphthalene



$$\frac{m_{i,F}^{(t)}}{m_{i,P}^0} = \frac{V_F}{m_{i,P}^0} \int_0^t C_{i,F}^{(t)} d\tau$$



>> FMECAKairP acetophenone

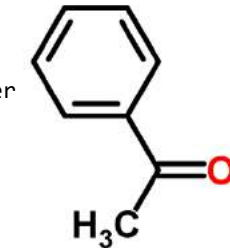
LOAD_CHEMSPIDER extraction of ChemSpiderID=7132 ('acetophenone') completed in 10.26 s
LOAD_CHEMISPIDER: updated cache

7132.mat 21-sept.-2015 21:37:19 77.6 kBytes C:\Data\Olivier\INRA\Codes\MS\cache.ChemSpider

CHEMSPIDER reuses cached data for 'acetophenone' (date=21-sept.-2015 21:37:19)

ans =

9.1995e-06



>> FMECAKairP ethylbenzene

LOAD_CHEMSPIDER extraction of ChemSpiderID=7219 ('ethylbenzene') completed in 11.9 s

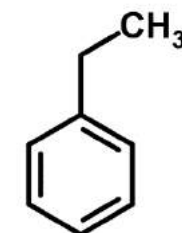
LOAD_CHEMISPIDER: updated cache

7219.mat 21-sept.-2015 21:42:34 107.1 kBytes C:\Data\Olivier\INRA\Codes\MS\cache.ChemSpider

CHEMSPIDER reuses cached data for 'ethylbenzene' (date=21-sept.-2015 21:42:34)

ans =

2.2485e-04



>> FMECAKairP 'benzoic acid'

LOAD_CHEMSPIDER extraction of ChemSpiderID=238 ('benzoic acid') completed in 5.746 s

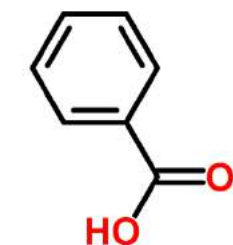
LOAD_CHEMISPIDER: updated cache

238.mat 21-sept.-2015 21:45:01 41.2 kBytes C:\Data\Olivier\INRA\Codes\MS\cache.ChemSpider

CHEMSPIDER reuses cached data for 'benzoic acid' (date=21-sept.-2015 21:45:01)

ans =

1.3674e-08

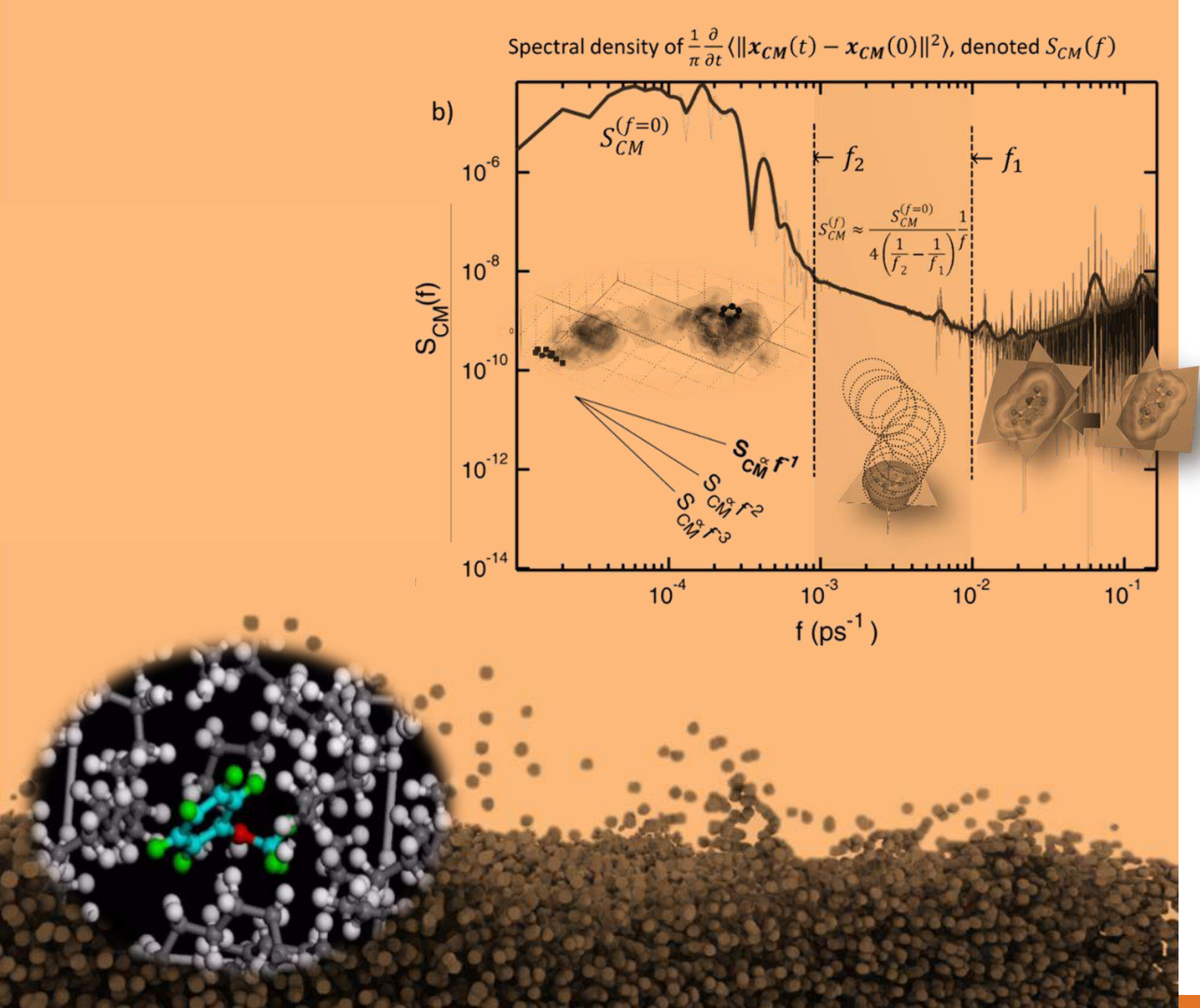


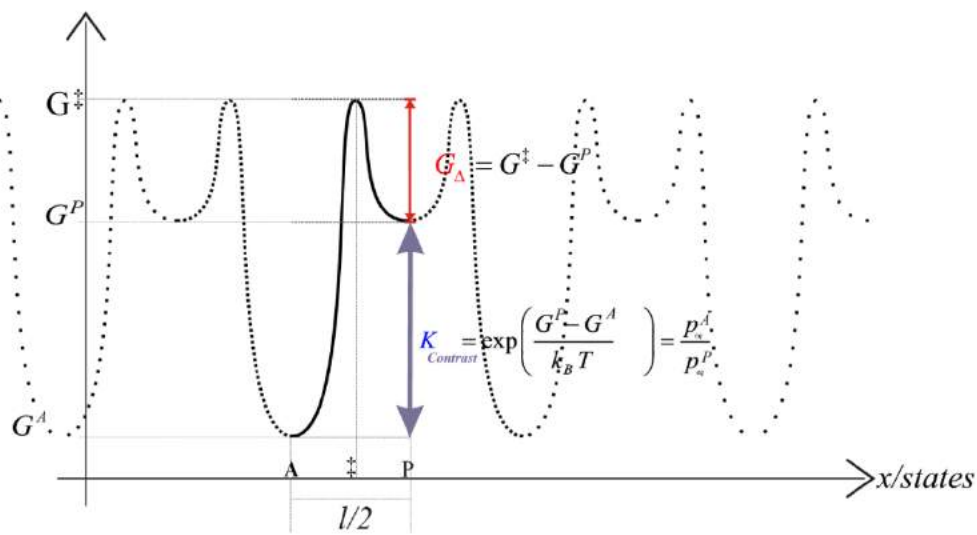
SOLUTION 6

Trapping migrants

solution 7

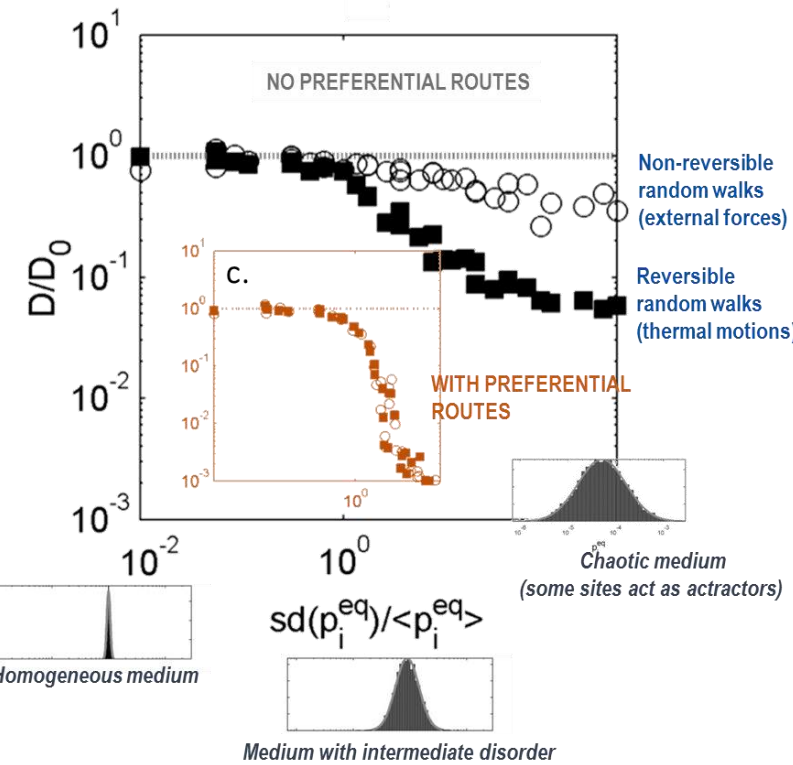
Conclusions

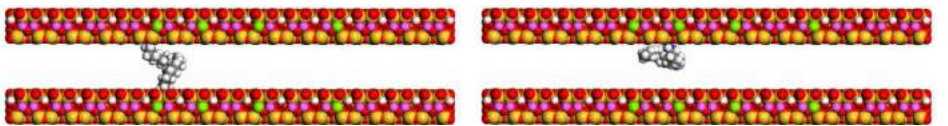




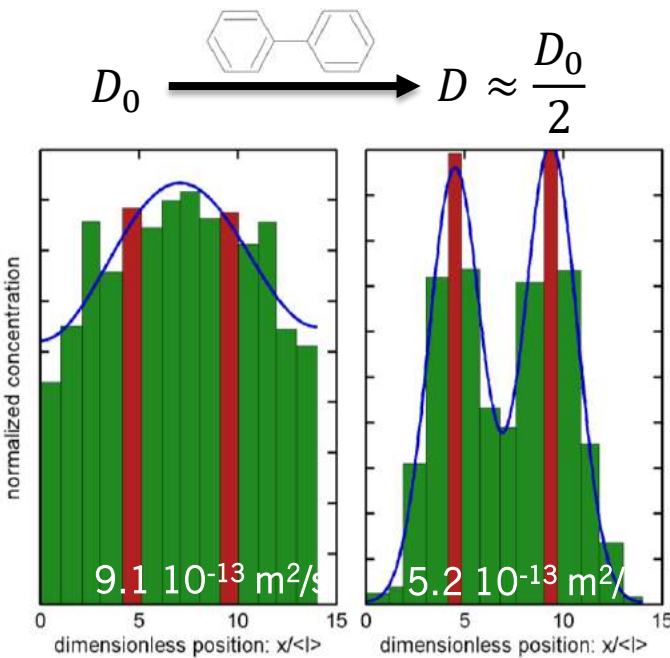
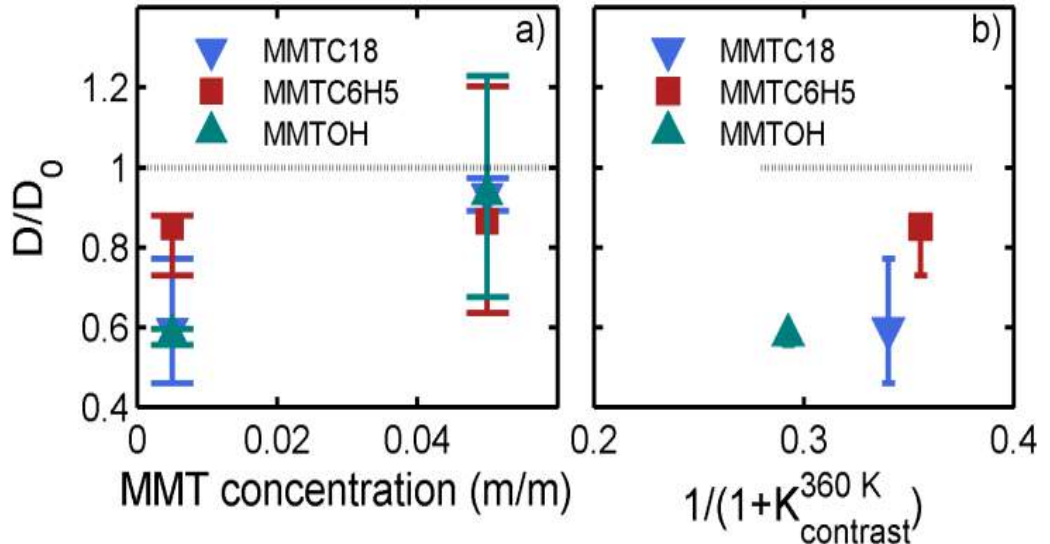
$$2D = l^2 k_{A \rightarrow P \rightarrow A} = \frac{k_0 l^2}{\frac{K}{\exp(-\frac{G_A}{RT})} + \frac{1}{\exp(-\frac{G_A}{RT})}}$$

$$= \frac{k_0 l^2}{1 + K_{contrast}} \exp\left(-\frac{G_A}{RT}\right) = \frac{D_0}{1 + K_{contrast}} \exp\left(-\frac{G_A}{RT}\right)$$



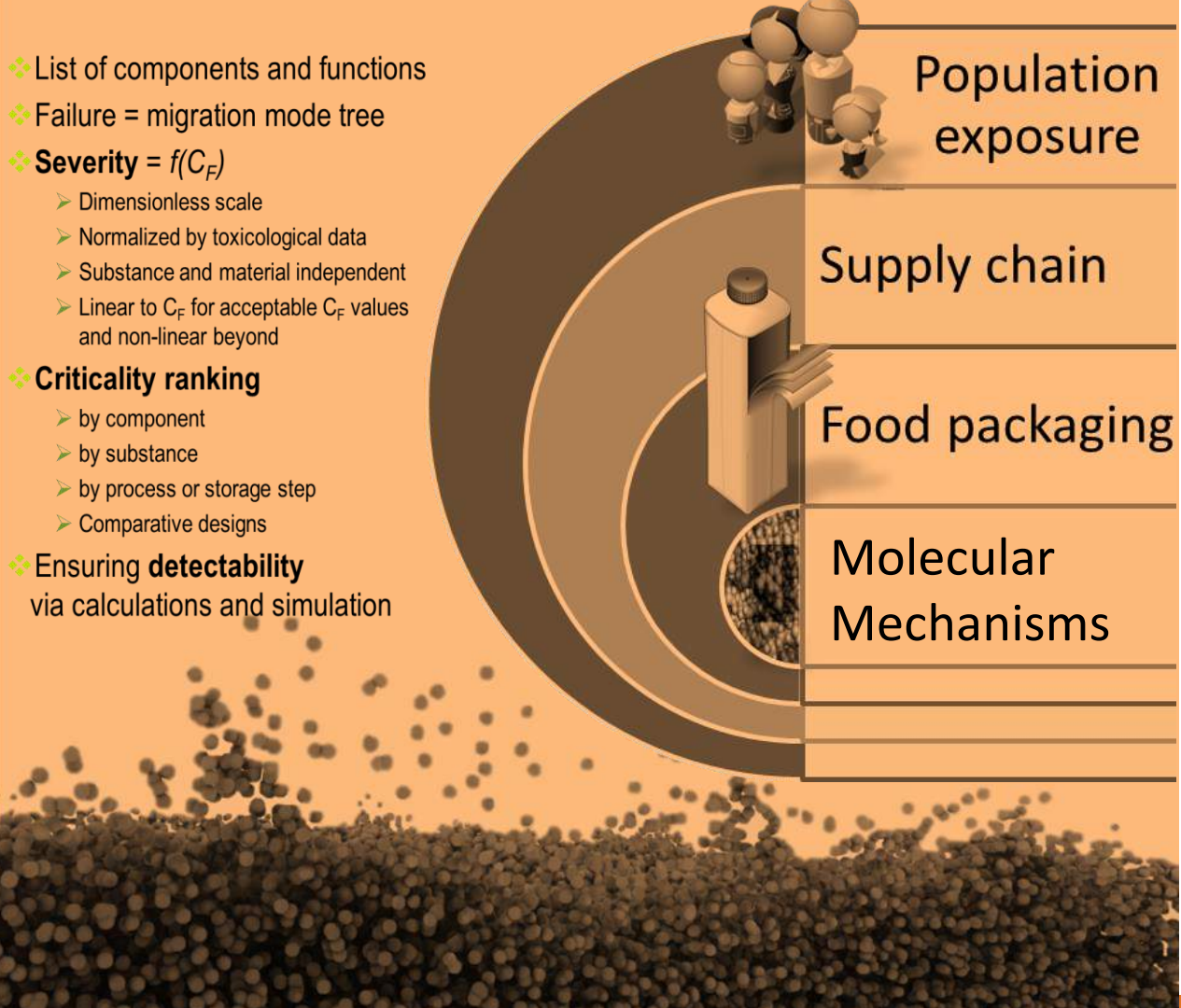


stack of 14 films assembled as
 $[0\ 0\ 0\ 0\ 1\ 0\ 0\ 0\ 0\ 1\ 0\ 0\ 0\ 0]$
 • 1 = source, 0 = virgin
 • film thickness: 40 μm
 • contact time: 20 min



Defect and Diffusion Forum 2011, Diffusion in Materials - DIMAT 2011, 269-274.

- ❖ List of components and functions
- ❖ Failure = migration mode tree
- ❖ **Severity** = $f(C_F)$
 - Dimensionless scale
 - Normalized by toxicological data
 - Substance and material independent
 - Linear to C_F for acceptable C_F values and non-linear beyond
- ❖ **Criticality ranking**
 - by component
 - by substance
 - by process or storage step
 - Comparative designs
- ❖ Ensuring **detectability** via calculations and simulation

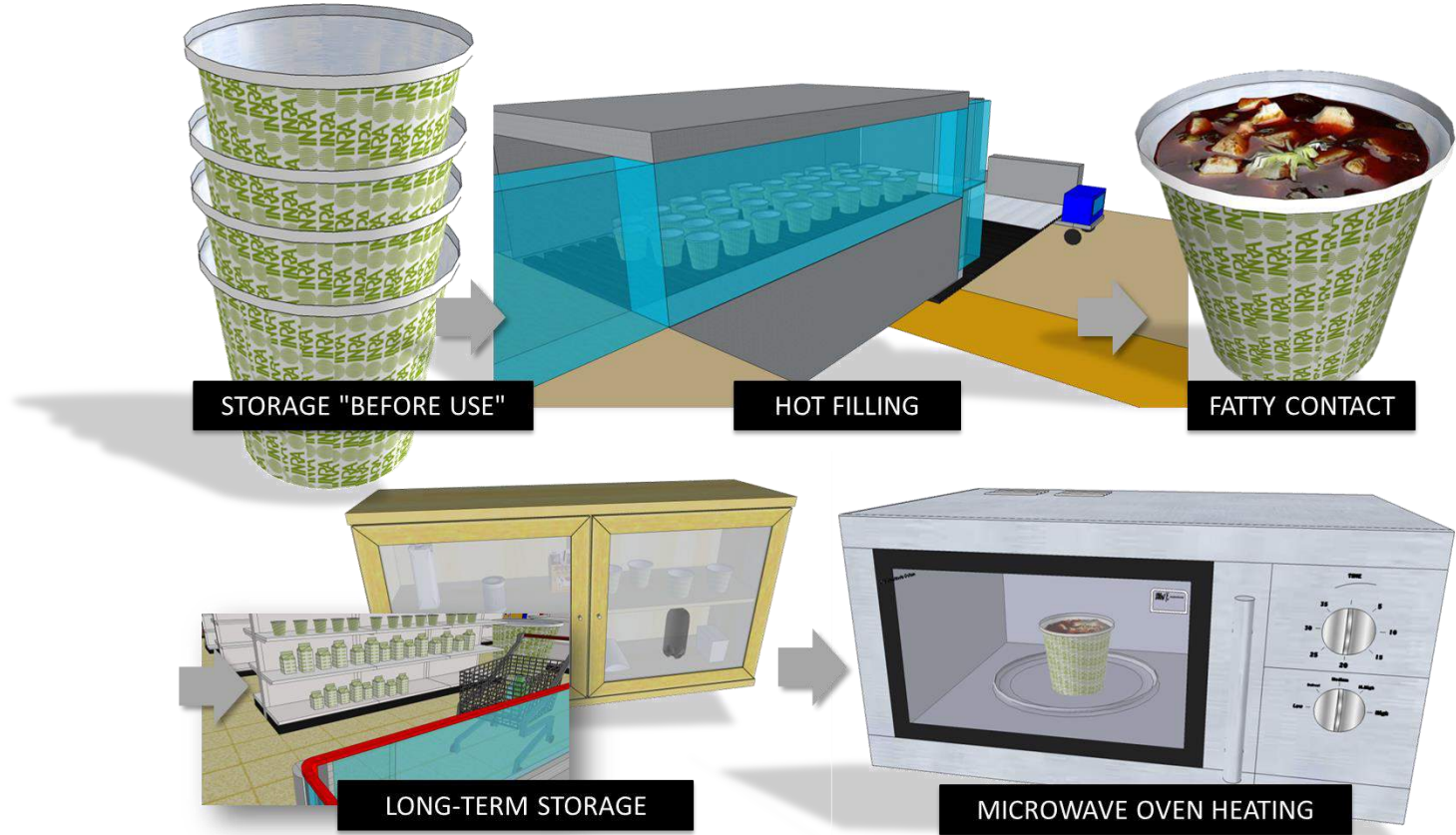


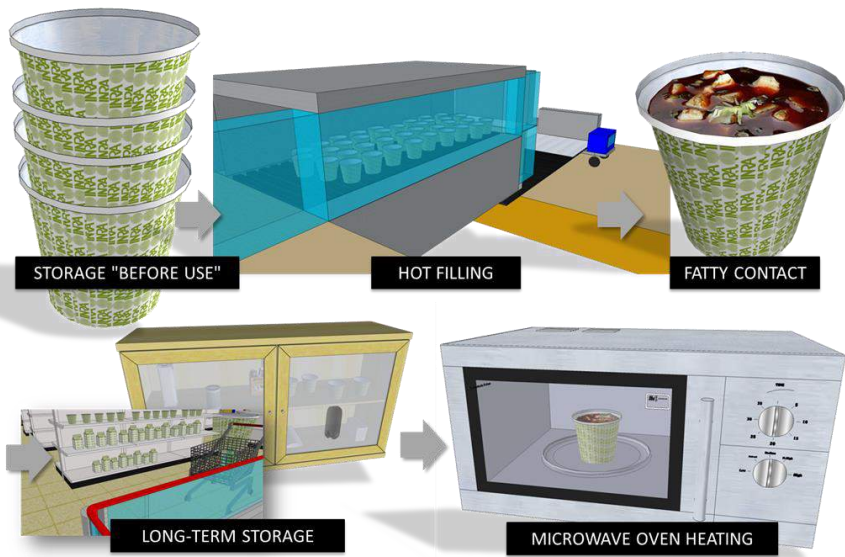
SOLUTION 7

Identification, avoidance, correction of critical steps components, substances, etc.

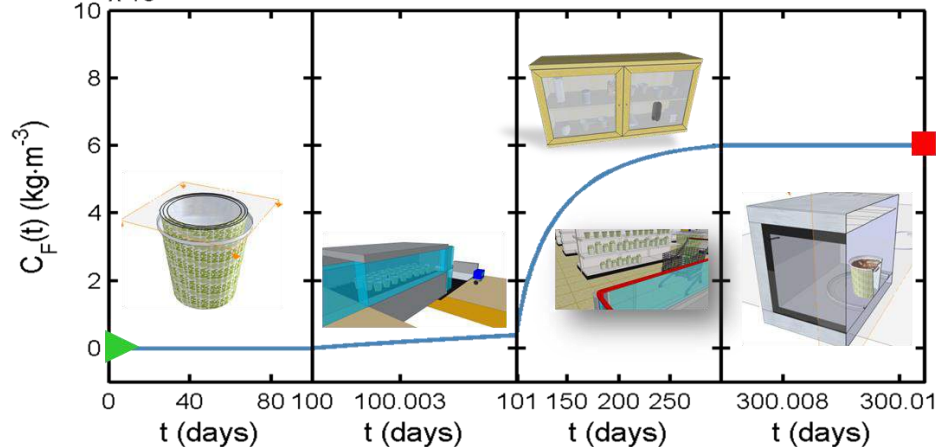
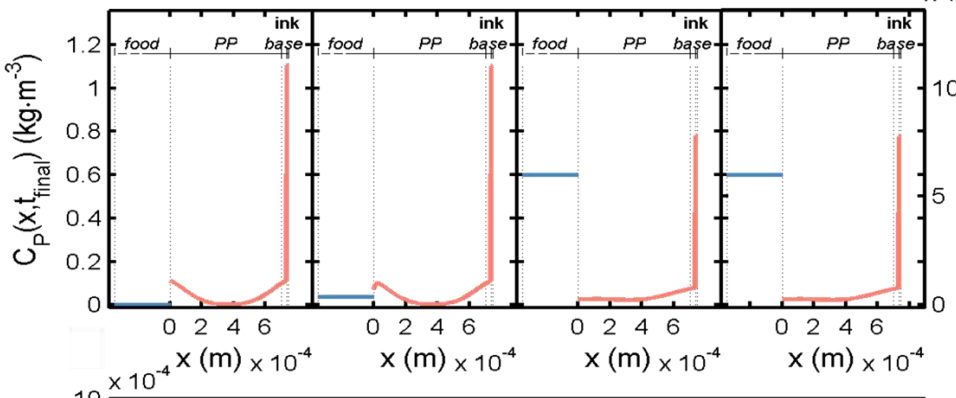
Conclusions

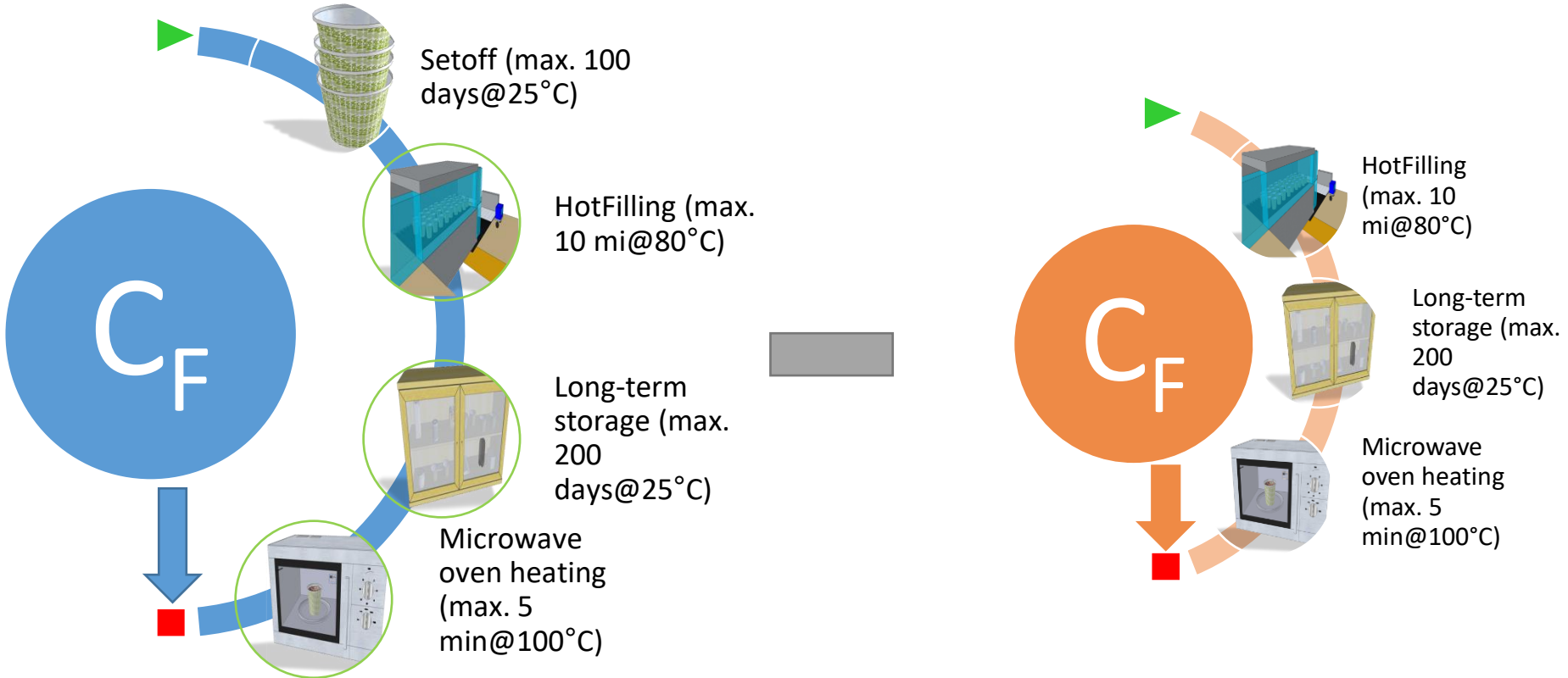
Risk of contamination by a photoinitiator in UV-curing printing ink

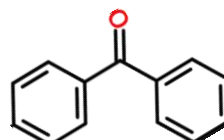
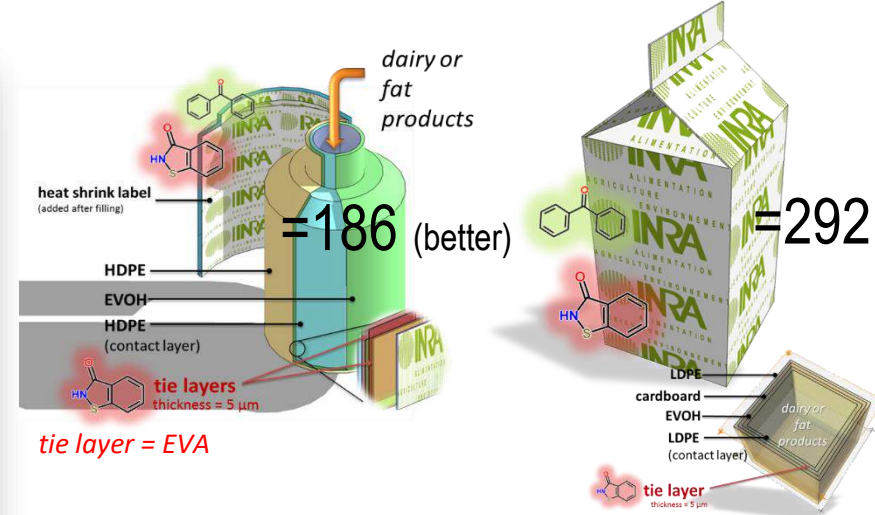
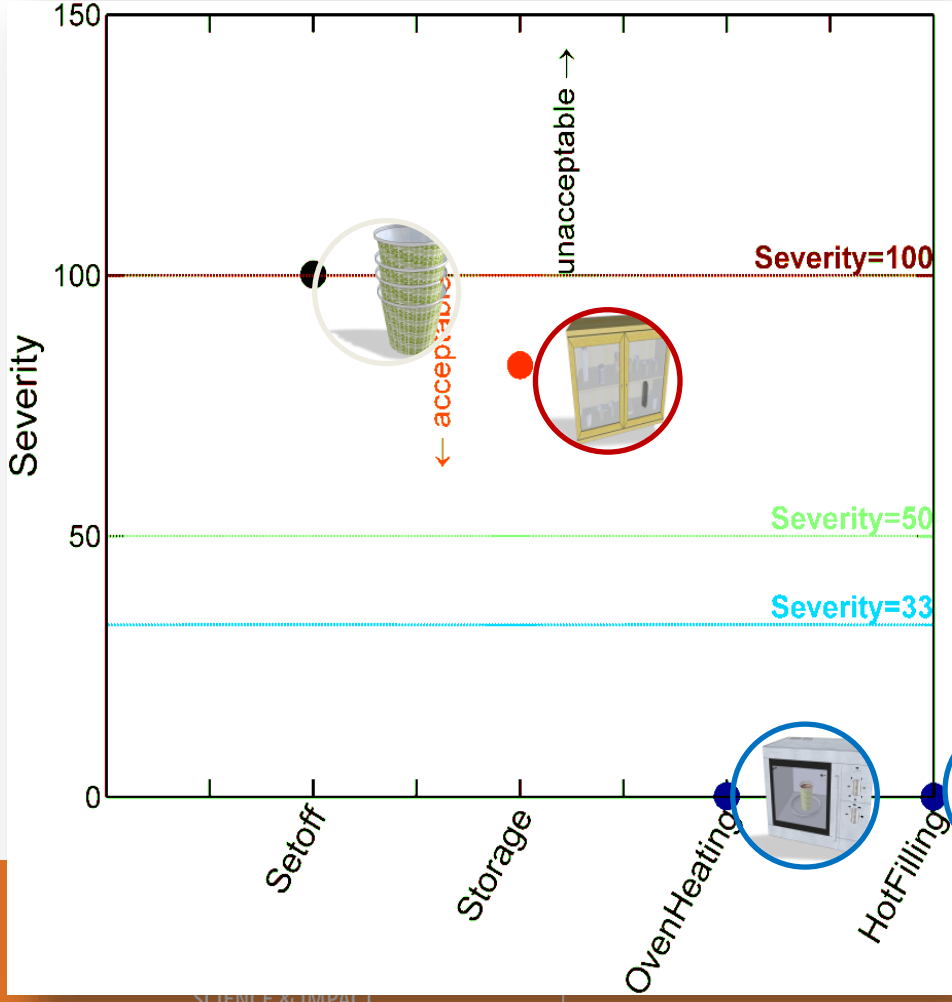




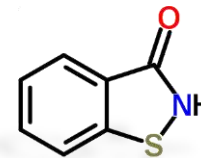
1: Setoff → 2: HotFilling → 3: Storage → 4: OvenHeating_{x 10⁻⁴}



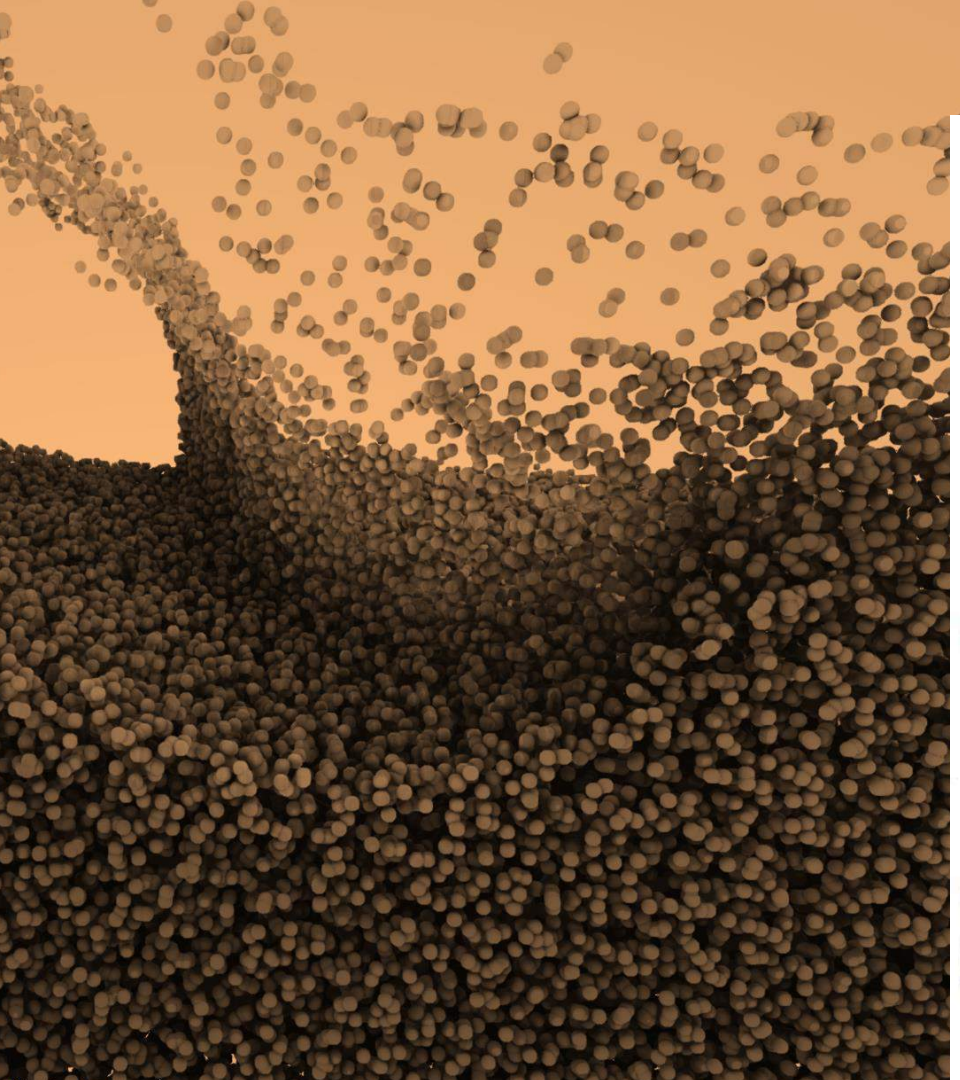




=115
(almost acceptable)



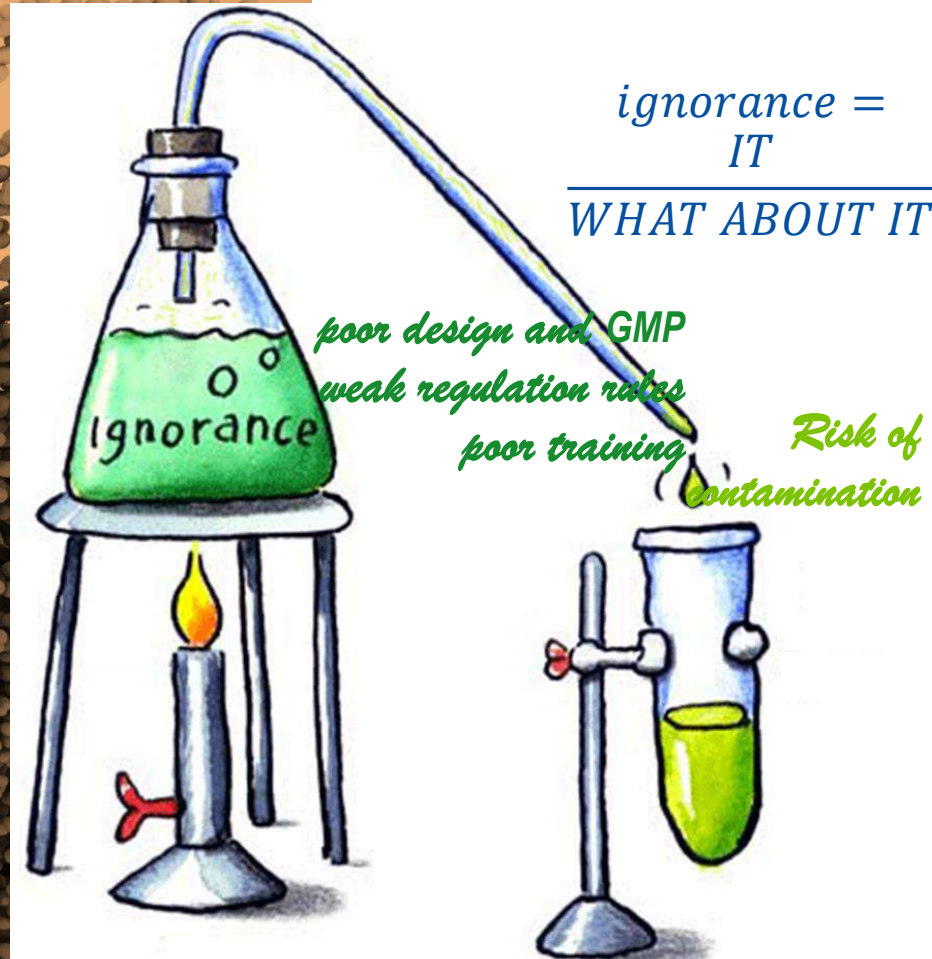
=124

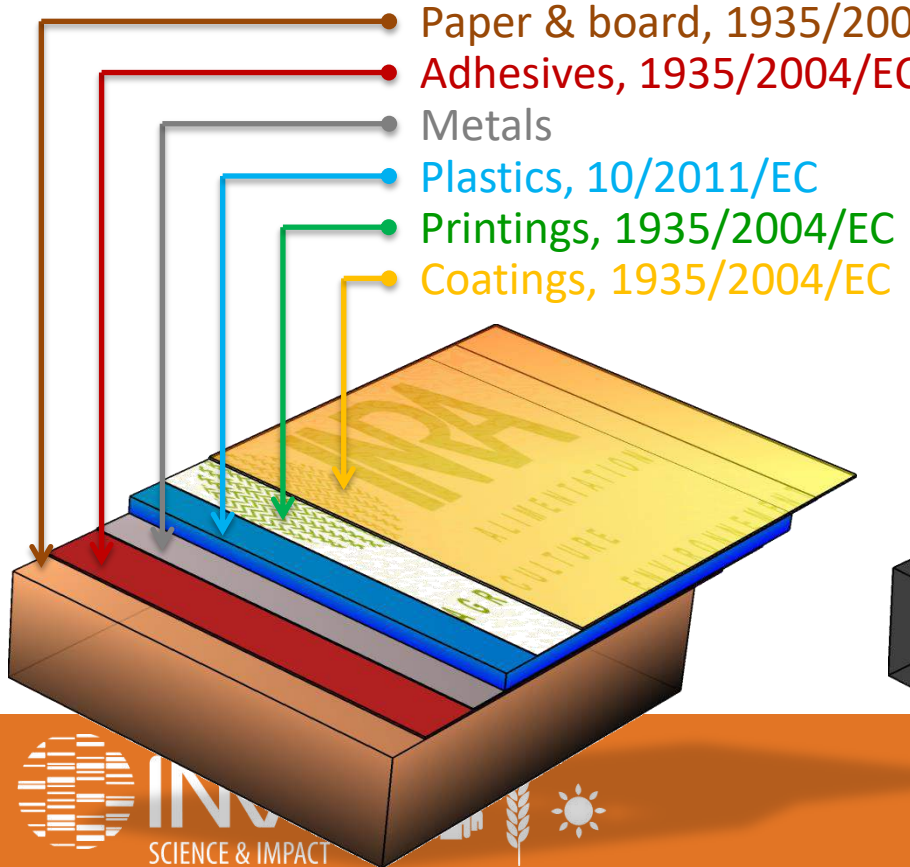


CONCLUSIONS

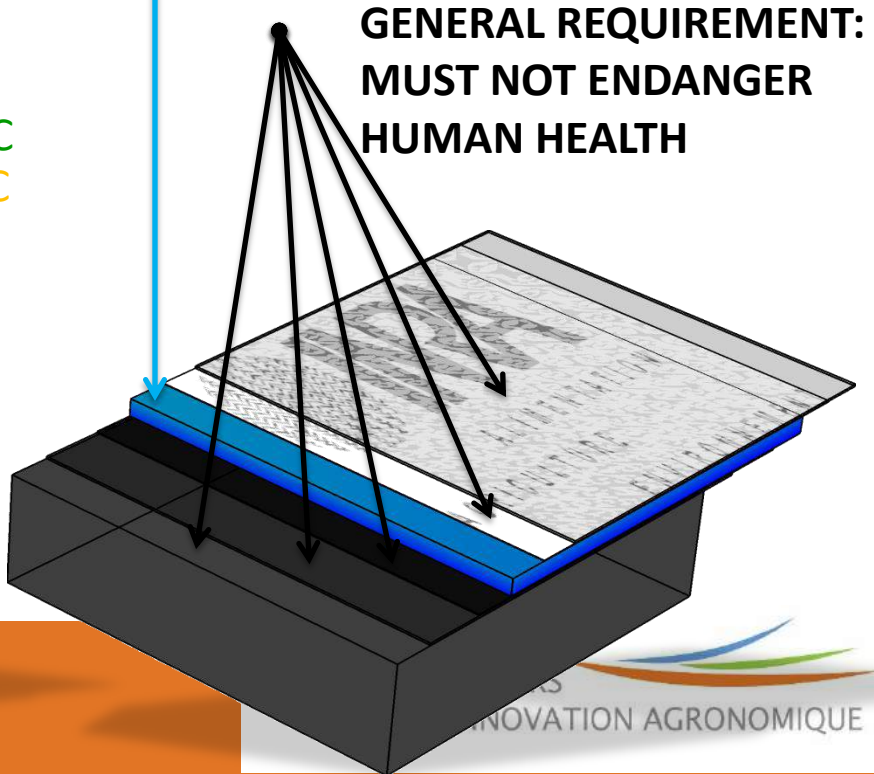
*ignorance =
IT*

WHAT ABOUT IT



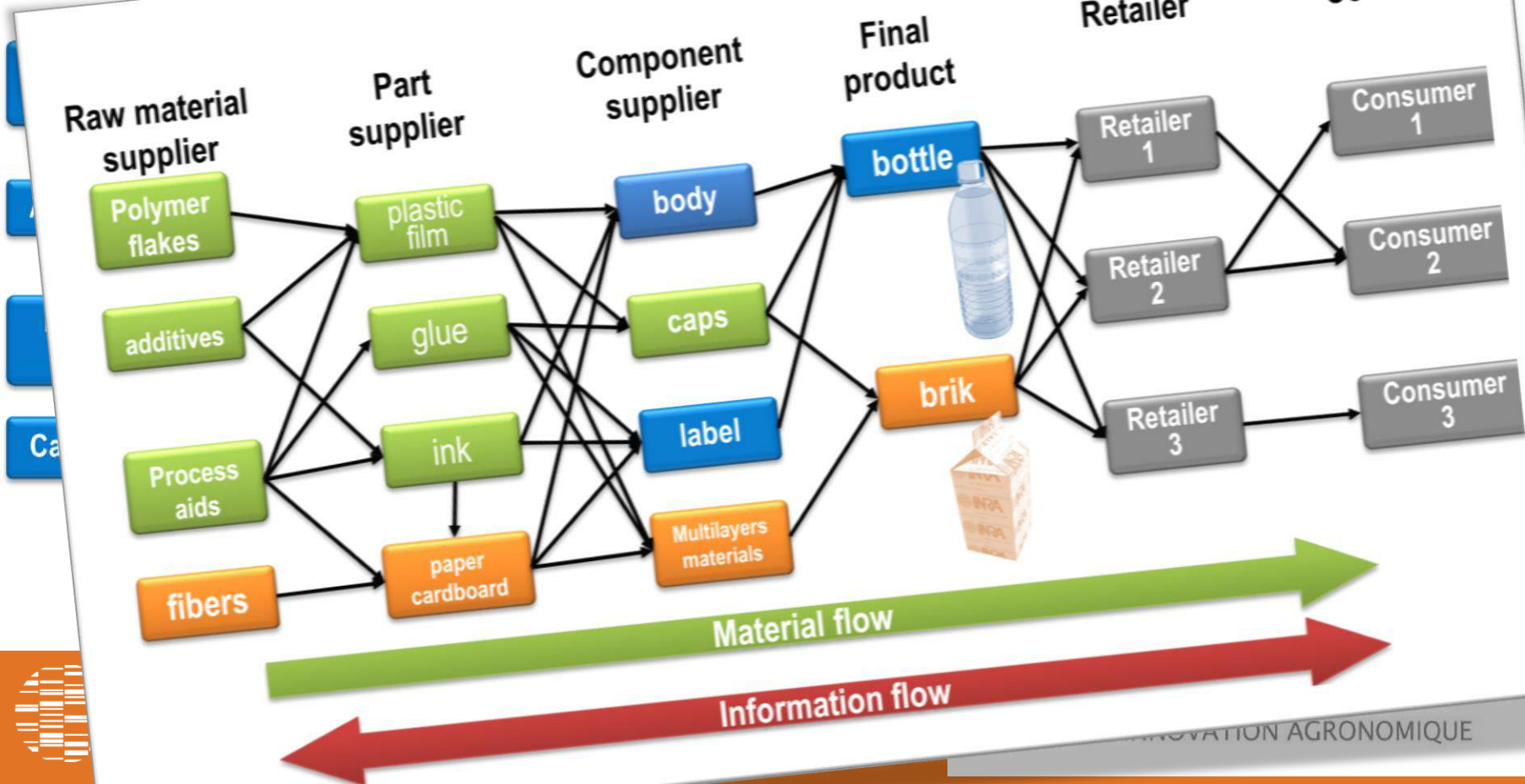


**POSITIVE LIST (LOW TOXICITY:
monomers, additives)
LOW MIGRATION**



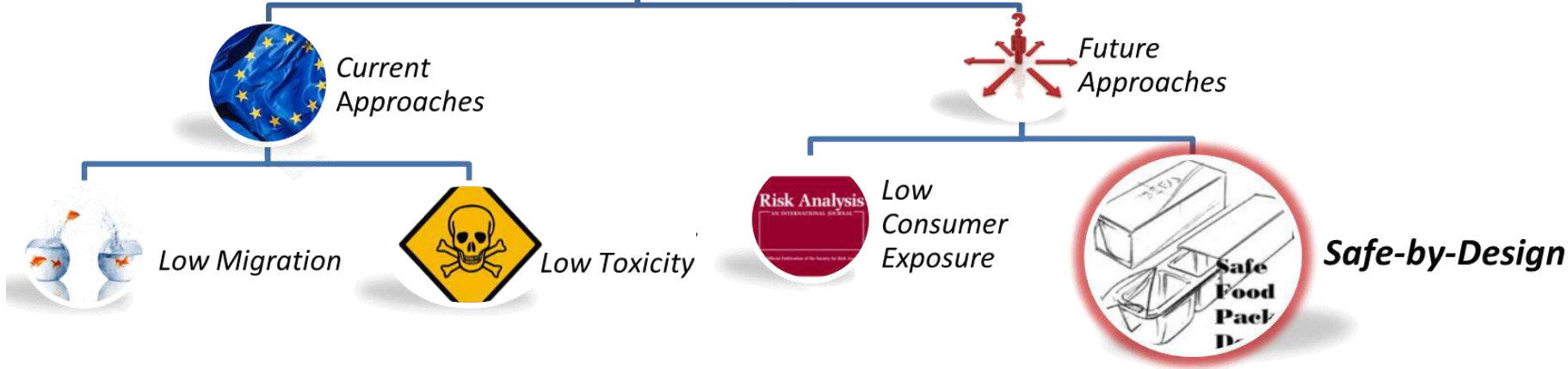
Raw material

Part





Safety concepts



+VOLUNTARY APPROACHES & LOCAL ORDINANCES

[Regulation EC 2023/2006](#) - Good Manufacturing Practice for materials and articles intended to come in contact with food

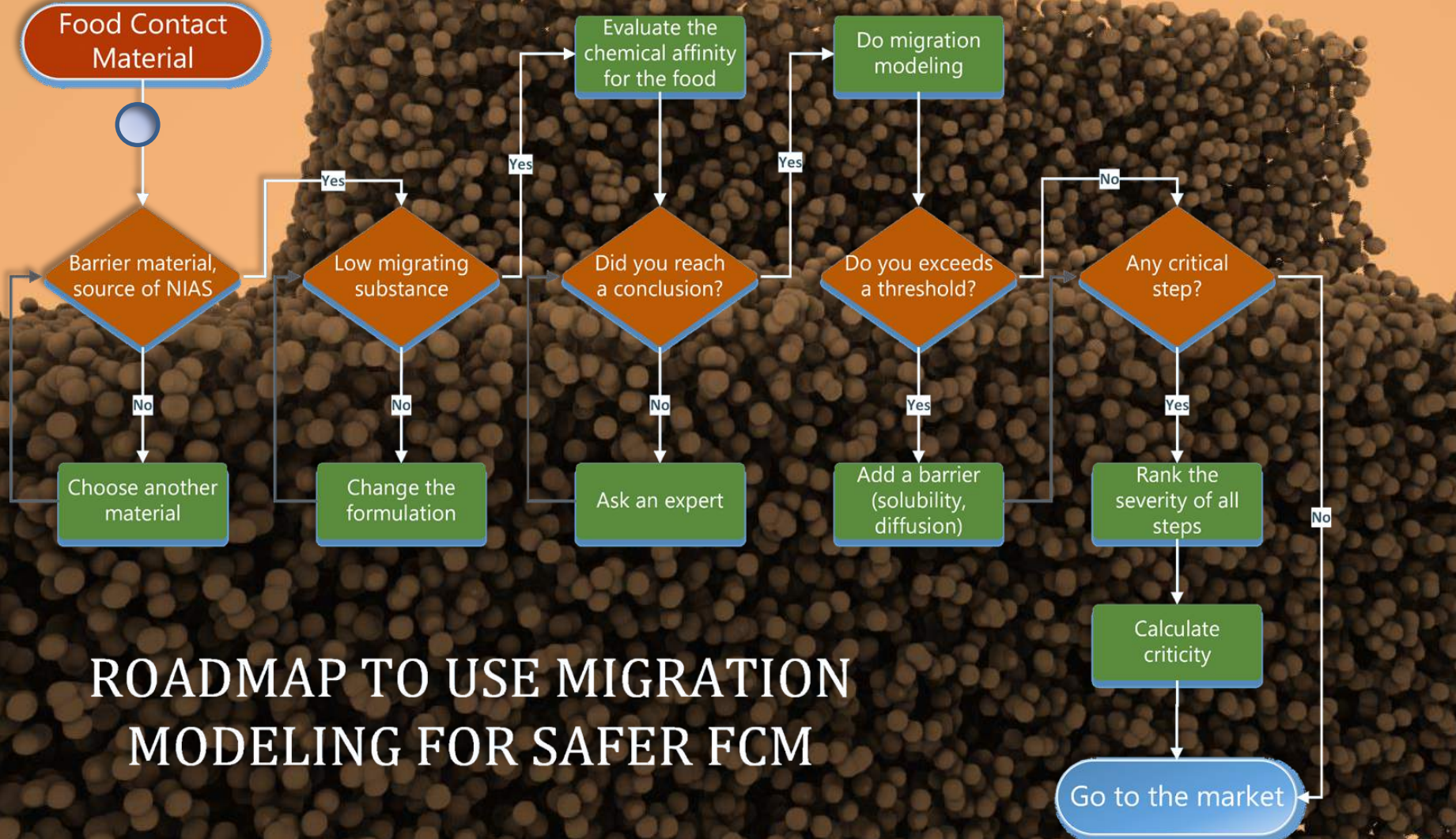
- **PRINTING INKS**
(EUPIA guidelines to be revised)

- Exclusion/Negative lists
- Recommended substances
- Purity/traceability requirements
- Migration (less than 10 ppb for non evaluated substances) and risk assessments
- Inks prepared according to GMP
- No-direct contact with food
- No “visible’ Set-off in stacks and reels



- **MINERAL OILS**
- No recycled paper or paperboard
- No MOSH below C20, migration <2 ppm for C20-C35
- Migration of MOAH (C16-C35)<0.5 ppm
- List of raw materials and production aids
- No holding/reheating above 90°C
- No microwave uses
- With internal bag





ROADMAP TO USE MIGRATION MODELING FOR SAFER FCM